

ผลของขนาดเกรนของเหล็ก AISI 1010 ที่มีต่อลักษณะความเสียหายจากแรงดึง

EFFECT OF GRAIN SIZE ON AISI 1010 TENSION

FRACTURE FORM

นายธีรกริช ศรีไหญ่ รหัส 48365231
นายวิสูตร ภาคภูมิ รหัส 48365286

ห้องสมุดคณะวิศวกรรมศาสตร์
วันที่รับ..... 13.๗.๕๓
เลขทะเบียน..... 15059628
เลขเรียกหนังสือ..... N/
มหาวิทยาลัยนเรศวร ช.๖๑ พ. ๒๕๕๒

ปริญญาในพนธน์นี้เป็นส่วนหนึ่งของการศึกษาตามหลักสูตรปริญญาวิศวกรรมศาสตรบัณฑิต

สาขาวิศวกรรมวัสดุ ภาควิชาวิศวกรรมอุตสาหการ

คณะวิศวกรรมศาสตร์ มหาวิทยาลัยนเรศวร

ปีการศึกษา 2552



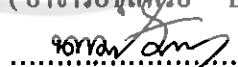
ใบรับรองปริญญาบัณฑิต

ชื่อหัวข้อโครงการ	ผลของขนาดเกรนของเหล็ก AISI 1010 ที่มีต่อสัมภาระความเสียหายจากแรงดึง	
ผู้ดำเนินโครงการ	นายธีรกริช ศรีไนย์	รหัส 48365231
	นายวิสุทธิ์ ภาคภูมิ	รหัส 48365286
ที่ปรึกษาโครงการ	อาจารย์ชุดีพร์ ป่าໄเร	
สาขาวิชา	วิศวกรรมวัสดุ	
ภาควิชา	วิศวกรรมอุตสาหการ	
ปีการศึกษา	2552	

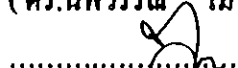
คณะกรรมการศาสตร์ มหาวิทยาลัยแม่ฟ้าฯ อนุมัติให้ปริญญาบัณฑิตบันนี้เป็นส่วนหนึ่งของการศึกษาตามหลักสูตรวิศวกรรมศาสตรบัณฑิต สาขาวิชาวิศวกรรมวัสดุ

 ที่ปรึกษาโครงการ

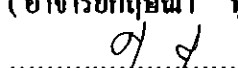
(อาจารย์ชุดีพร์ ป่าໄเร)

 กรรมการ

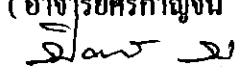
(ดร.นพวรรณ โน้มถอง)

 กรรมการ

(อาจารย์กฤณา พุฒสวัสดิ์)

 กรรมการ

(อาจารย์ศริกาญจน์ ขันสัมฤทธิ์)

 กรรมการ

(อาจารย์ปีรันทร์ บุญพิชัย)

ชื่อหัวข้อโครงการ	ผลของขนาดเกรนของเหล็ก AISI 1010 ที่มีต่อลักษณะความเสียหายจากแรงดึง	
ผู้ดำเนินโครงการ	นายธีรวิช ศรีไหสุ่ย	รหัส 48365231
	นายวิสูตร์ ภาคภูมิ	รหัส 48365286
ที่ปรึกษาโครงการ	อาจารย์ชุลีพร ป่าໄ Irvine	
สาขาวิชา	วิศวกรรมวัสดุ	
ภาควิชา	วิศวกรรมอุตสาหการ	
ปีการศึกษา	2552	

บทคัดย่อ

ปัจจุบันนี้ที่มีผลต่อความสามารถในการรับแรงดึงของโลหะคือขนาดเกรน ขนาดเกรนที่ต่างกันบ่งบอกถึงผลให้โลหะมีความแข็งแรงที่แตกต่างกัน และอาจให้ลักษณะความเสียหายที่เกิดขึ้นแตกต่างกัน เหล็กกล้าคาร์บอนตัว เกรด AISI 1010 ที่มีคุณสมบัติอ่อนเหนียว และไม่แข็งมากนัก สามารถนำไปใช้เป็นรูปได้ง่าย จึงนิยมในการนำไปใช้งานในด้านต่างๆ มากนัก เช่น ไปใช้ในงานเหล็กโครงสร้างในงานก่อสร้างทุกชนิด เหล็กในงานเชื่อมโลหะ เหล็กเส้น นำไปปรีดเป็นเหล็กแผ่นใช้ทำถังบรรจุของเหลว ใช้ในอุตสาหกรรมรถยนต์ เป็นต้น จะเห็นได้ว่าทั้งการขึ้นรูปและการใช้งานโลหะจะต้องรับแรงกระทำในรูปแบบของแรงดึง

ดังนั้น ในการศึกษารั้งนี้จึงมีความสนใจศึกษาลักษณะความเสียหายจากแรงดึงของเหล็กกล้าคาร์บอนตัวเกรด 1010 ที่มีขนาดเกรนต่างกันจากการอบอ่อน เพื่อที่จะนำความรู้ที่ได้ไปประยุกต์ใช้ในการเลือกใช้และปรับปรุงโครงสร้างจุดภาคให้มีคุณสมบัติที่เหมาะสมกับลักษณะการใช้งาน โดยทำการทดสอบแรงดึงและตรวจสอบลักษณะความเสียหายด้วยกล้องจุลทรรศน์ อิเดกตรอนแบบสองคราด

พบว่าชิ้นงานที่มีขนาดเกรนเฉลี่ย 45 และ 65 μm มีการแตกหักแบบหนีบ แต่ชิ้นงานที่มีขนาดเกรนเฉลี่ย 45 μm จะเกิดการเปลี่ยนรูปอ่อนตัว (Plastic deformation) บริเวณกลางรอยขาด (Center crack) ส่วนชิ้นงานที่มีขนาดเกรนเฉลี่ย 65 μm บริเวณกลางรอยขาดมีลักษณะของในโครงอยู่ดีเป็นแบบหกเหลี่ยม (Equiaxed shape) และคงว่ามีการรับแรงแบบตั้งฉากกับชิ้นงาน และสำหรับบริเวณขอบรอยขาด(Shear lip) ของชิ้นงานทั้งสองพ้นในโครงอยู่ดีที่มีลักษณะบิดเบี้ยว เช่นเดียวกัน

กิตติกรรมประกาศ

ปริญญา尼พนธ์ฉบับนี้สำเร็จลุล่วงไปได้ด้วยดีด้วยความช่วยเหลืออย่างดีซึ่งของอาจารย์ชุดีพรย์ ป่าໄร์ อาจารย์ที่ปรึกษาปริญญา尼พนธ์ที่ได้ให้คำแนะนำ และข้อคิดเห็นต่างๆในการทำโครงการมาโดยตลอด ขอขอบพระคุณอาจารย์กฤณา พูลสวัสดิ์ อาจารย์ภาควิชา วิศวกรรมอุตสาหกรรมทุกท่าน รวมถึงครูช่างในภาควิชา วิศวกรรมอุตสาหการ ครูช่างภาควิชา วิศวกรรมเครื่องกลที่เคยให้คำปรึกษาในการทำโครงการ ช่วยให้แนวทางในการทำการทดลองที่ถูกต้องพร้อมทั้งชี้แนะแนวทางแก้ไขและอนุมัติระหำในการให้อุปกรณ์เครื่องมือในการดำเนินโครงการตลอด

นอกจากนี้ยังมีศูนย์เทคโนโลยีโลหะและวัสดุแห่งชาติ (MTEC) ที่ให้ความช่วยเหลือในการดำเนินการค่ายภาคีด้วยการสนับสนุนในด้านการเงินและกำลังใจ ตลอดจนทุกท่านที่ให้ความช่วยเหลือ

ท้ายนี้ผู้เขียนขอกราบ鞠躬 บิรา นารดา ชื่นสนับสนุนในด้านการเงินและกำลังใจ ให้แก่ผู้เขียนในการทำโครงการนี้สำเร็จการศึกษา

คณะผู้ดำเนินโครงการวิศวกรรม

นายธีรกริช ศรีใหญ่

นายวิสุทธิ์ ภากภูมิ

กุมภาพันธ์ 2553

สารบัญ

	หน้า
ใบรับรองโครงการวิศวกรรม.....	ก
บทคัดย่อภาษาไทย.....	ข
กิตติกรรมประกาศ.....	ค
สารบัญ.....	ง
สารบัญรูป.....	น
สารบัญตาราง	บ
บทที่ 1 บทนำ	1
1.1 หลักการและเหตุผล	1
1.2 วัตถุประสงค์ของโครงการ	1
1.3 เกณฑ์ชี้วัดผลงาน (Output)	1
1.4 เกณฑ์ชี้วัดผลสำเร็จ (Outcome)	2
1.5 ขอบเขตในการดำเนินงานวิจัย	2
1.6 สถานที่ในการดำเนินการวิจัย	2
1.7 ระยะเวลาในการดำเนินการวิจัย	2
1.8 ขั้นตอน และแผนการดำเนินงาน (Gantt Chart)	3
บทที่ 2 หลักการและทฤษฎี.....	4
2.1 การอบอ่อน (Annealing)	4
2.2 การหานาคเกรน	15
2.3 การทดสอบแรงดึง (Tension test).....	16
2.4 เหล็กกล้าคาร์บอนต่ำ (Low carbon steel).....	22
2.5 ประเภทของการแตกหักในโลหะ (Types of fracture in metals).....	24
2.6 เทคนิคการตรวจสอบพื้นผิวการแตกหัก (Fractography technique).....	30
2.7 การทดสอบความแข็ง (Hardness test).....	31

สารบัญ (ต่อ)

	หน้า
บทที่ 3 ขั้นตอนการดำเนินการวิจัย.....	35
3.1 สำรวจงานวิจัยและทฤษฎีที่เกี่ยวข้อง.....	35
3.2 การเตรียมชื่นงาน.....	35
3.3 การอบอ่อน.....	35
3.4 การตรวจสอบขนาดของกรน (Grain size).....	36
3.5 การทดสอบคุณสมบัติเชิงกล.....	37
3.6 การตรวจด้วยกล้องจุลทรรศน์อิเล็กตรอนแบบส่องgraphic.....	37
บทที่ 4 ผลการทดลอง และการวิเคราะห์ผลการทดลอง.....	38
4.1 ผลการตรวจสอบขนาดของกรน (Grain size).....	38
4.2 ผลการทดสอบความแข็ง.....	39
4.3 ผลการทดสอบแรงดึง.....	40
4.4 ผลการตรวจลักษณะความเสียหายจากแรงดึง.....	44
บทที่ 5 สรุปผลโครงการ.....	50
ปัญหาและแนวทางการแก้ไข.....	51
เอกสารอ้างอิง	52
ภาคผนวก ก	53
ภาคผนวก ข	58
ภาคผนวก ค	60
ภาคผนวก ง	62
ประวัติผู้แต่ง	65

สารบัญรูป

หน้า	หัวข้อ
1	รูปที่
5	2.1 ทดสอบอุณหภูมิการอบอ่อนแบบ (Stress-relief anneal) จากแผนภูมิสมดุลเหล็กคาร์บอน
6	2.2 ทดสอบและอุณหภูมิการอบอ่อนการใบก้อนกลม (Spheroidising anneal) จากแผนภูมิสมดุลเหล็กคาร์บอน
7	2.3 ทดสอบการเกิดผลกระบวนการของการขึ้นรูปเย็นด้วยความต้านทานแรงดึง, ความแข็ง, ความเหนียว และขนาดเกรน
8	2.4 ภาพถ่ายโครงสร้างบุลภาคน้ำที่กำลังขยาย 75X โดยแสดงให้เห็นสภาพต่างๆ ของการเกิดผลึกใหม่และการ โดยของขนาดเกรนของทองเหลือง (ก) ผ่านการขึ้นรูปเย็นมา 33%, (ข) เริ่มเกิดผลึกใหม่ที่อุณหภูมิ 580 องศาเซลเซียส เป็น ระยะเวลา 3 วินาที จะเห็นเกรนขนาดเล็กเกิดขึ้น, (ค) การเกิดผลึกใหม่ที่อุณหภูมิ 580 องศาเซลเซียส เป็นระยะเวลา 4 วินาที, (ง) การเกิดผลึกใหม่โดยสมบูรณ์ที่อุณหภูมิ 580 องศาเซลเซียส เป็นระยะเวลา 8 วินาที, (จ) การ โดยของขนาดเกรนเมื่อเวลาผ่านไป 15 นาที ที่อุณหภูมิ 580 องศาเซลเซียส, (ฉ) การ โดยของขนาดเกรนเมื่อเวลาผ่านไป 10 นาที ที่อุณหภูมิ 700 องศาเซลเซียส
9	2.5 อิทธิพลของอุณหภูมิในการอบอ่อนที่มีผลต่อความต้านทานแรงดึง และการยืดตัวของทองเหลืองผสม และขนาดของเกรนที่เปลี่ยนแปลง ไปเมื่อเกิดการเรียงตัวใหม่การเกิดผลึกใหม่และการ โดยของขนาดเกรน
10	2.6 ความสัมพันธ์ของอุณหภูมิในการเกิดผลึกใหม่กับเปอร์เซนต์ในการขึ้นรูปเย็น แสดงให้เห็นเปอร์เซนต์ในการขึ้นรูปเย็นต่ำสุดที่สามารถทำให้เกิดผลึกใหม่
13	2.7 ทดสอบการเกิดการ โดยของขนาดเกรนโดยการเพร่งของอะตอม
14	2.8 กราฟแสดงความสัมพันธ์ของขนาดเกรนและระยะเวลาในการเกิดการ โดย ของขนาดเกรนของทองเหลืองที่อุณหภูมิต่างๆ
17	2.9 เส้นโค้งความเค้น-ความเครียด (Stress-Strain Curve) แบบมีจุดคราก (Yield point)

สารบัญรูป (ต่อ)

รูปที่	หน้า
2.10 เส้นโถกความเด่น-ความเครียดแบบที่ไม่มีจุดคราก	18
2.11 เปรียบเทียบเส้นโถกความเด่น-ความเครียดของวัสดุประจำ และวัสดุพลาสติก	19
2.12 แผนภาพสมดุลเหล็ก – คาร์บอน	23
2.13 ก) การแตกหักแบบเหนียว (Ductile fracture), ข) การแตกหักแบบผ่าเกรน (Trangranular cleavage fracture)	25
2.14 แสดงพื้นผิวการแตกหัก ก) แบบเสื่อมของเฟอร์ไรร์ในเหล็กกล้า การบอนต์ และ ข) แบบกึ่งเสื่อมของเหล็กกล้าที่รีสันนิฟีโครงสร้าง แบบใหม่ปอร์มาร์เกนไซต์	25
2.15 การเกิด River line pattern ที่พบในพื้นผิวการแตกหักแบบประจำ	26
2.16 การแตกหักแบบ Cup and cone	27
2.17 พื้นผิวการแตกหักตามข้อมูลน (ก) แบบแกะตัวของไม้โครงอยค์ และ (ข) แบบไม่แกะตัวของไม้โครงอยค์	29
2.18 การใช้เครื่องมือในการตรวจสอบพื้นผิวการแตกหักในช่วงกำลังขยายต่างๆ	31
2.19 เครื่องทดสอบความแข็งแบบรีอคเวล	32
2.20 ขนาดของแรงกดที่กระทำให้ผิวทดสอบ	33
3.1 ตัวอย่างชิ้นงานทดสอบที่ใช้ทดสอบแรงดึง (อ้างอิงจากมาตรฐาน ASTM – A370)	35
4.1 ภาพโครงสร้างจุลภาคด้วยกล้องจุลทรรศน์แสงที่กำลังขยาย 600 เท่า (ก) ชิ้นงานที่ผ่านการอบอ่อนเป็นเวลา 30 นาที และ (ข) ชิ้นงานที่ผ่านการอบอ่อนเป็นเวลา 240 นาที	38
4.2 แผนภูมิแสดงค่าความแข็งเฉลี่ยของชิ้นงานที่มีขนาดเกรนเฉลี่ย 45 μm และ ชิ้นงานที่มีขนาดเกรนเฉลี่ย 65 μm	40

สารบัญรูป (ต่อ)

รูปที่	หน้า
4.3 กราฟแสดงผลการทดสอบแรงดึงของชิ้นงานที่ผ่านการอบอ่อน (ก) ชิ้นงานที่มีขนาดเกรนเฉลี่ย $45 \mu\text{m}$ และ (ข) ชิ้นงานที่มีขนาดเกรนเฉลี่ย $65 \mu\text{m}$	41
4.4 แผนภูมิแสดงค่าความต้านทานแรงดึง (Tensile strength) ของชิ้นงานที่มีขนาดเกรนเฉลี่ย $45 \mu\text{m}$ และ ชิ้นงานที่มีขนาดเกรนเฉลี่ย $65 \mu\text{m}$	42
4.5 แผนภูมิแสดงการเปรียบเทียบเปอร์เซ็นต์การยึดตัวของชิ้นงาน ที่มีขนาดเกรนเฉลี่ย $45 \mu\text{m}$ และชิ้นงานที่มีขนาดเกรนเฉลี่ย $65 \mu\text{m}$	43
4.6 แผนภูมิแสดงค่าโนดูลัสของความยืดหยุ่นของชิ้นงานที่มีขนาดเกรนเฉลี่ย $45 \mu\text{m}$ และชิ้นงานที่มีขนาดเกรนเฉลี่ย $65 \mu\text{m}$	44
4.7 ภาพถ่ายชิ้นงานทดสอบหลังทดสอบแรงดึง (ก) ชิ้นงานที่มีขนาดเกรนเฉลี่ย $45 \mu\text{m}$ และ (ข) ชิ้นงานที่มีขนาดเกรนเฉลี่ย $65 \mu\text{m}$	45
4.8 ภาพถ่ายพื้นผิวการแตกหักบริเวณโดยรวมของรอยขาด (Over all) ที่กำลังขยาย $100X$ จากกล้องจุลทรรศน์อิเล็กตรอนแบบส่องกราด (ก) ชิ้นงานที่มีขนาดเกรนเฉลี่ย $45 \mu\text{m}$ และ (ข) ชิ้นงานที่มีขนาดเกรนเฉลี่ย $65 \mu\text{m}$	47
4.9 ภาพถ่ายพื้นผิวการแตกหักบริเวณบริเวณกลางรอยขาด (Center crack) ที่กำลังขยาย $5000X$ จากกล้องจุลทรรศน์อิเล็กตรอนแบบส่องกราด (ก) ชิ้นงานที่มีขนาดเกรนเฉลี่ย $45 \mu\text{m}$ และ (ข) ชิ้นงานที่มีขนาดเกรนเฉลี่ย $65 \mu\text{m}$	48
4.10 ภาพถ่ายพื้นผิวการแตกหักบริเวณขอบรอยขาด (Shear lip) ที่กำลังขยาย $5000X$ จากกล้องจุลทรรศน์อิเล็กตรอนแบบส่องกราด (ก) ชิ้นงานที่มีขนาดเกรนเฉลี่ย $45 \mu\text{m}$ และ (ข) ชิ้นงานที่มีขนาดเกรนเฉลี่ย $65 \mu\text{m}$	49
ก.1 ภาพกราฟที่ได้จากการทดสอบแรงดึงของชิ้นงานที่มีขนาดเกรนเฉลี่ย $45 \mu\text{m}$	55

สารบัญรูป (ต่อ)

รูปที่	หน้า
ก.2 ภาพกราฟที่ได้จากการทดสอบแรงดึงของชิ้นงานที่มีขนาดเกรนเฉลี่ย $65 \mu\text{m}$	56
ข.1 แสดงพื้นที่ผิวการแตกหักบริเวณกลางรอยขาด (Center crack) ที่กำลังขยาย 200 เท่า จากกล้องจุลทรรศน์อิเล็กตรอนแบบส่องgraphic ของชิ้นงานที่มีขนาดเกรนเฉลี่ย $45 \mu\text{m}$	60
ข.2 แสดงพื้นที่ผิวการแตกหักบริเวณกลางรอยขาด (Center crack) ที่กำลังขยาย 200 เท่า จากกล้องจุลทรรศน์อิเล็กตรอนแบบส่องgraphic ของชิ้นงานที่มีขนาดเกรนเฉลี่ย $65 \mu\text{m}$	60



สารบัญตาราง

ตารางที่	หน้า
1.1 ขั้นตอน และแผนการดำเนินงาน (Gantt Chart) ทุก 2 อาทิตย์	3
2.1 แสดงค่าการเกิดผลึกใหม่และอุณหภูมิในการหลอมตัว (Recrystallization and melting temperature for various metals and alloys)	12
2.2 แสดงค่าขนาดเกรนมาตรฐาน ASTM Standard E112	16
2.3 ตัวอย่างค่าคงที่ E และ G ของวัสดุชนิดต่างๆ	21
2.4 การเลือกใช้แรงกดที่เหมาะสมกับหัวกดและโลหะที่ต้องการทดสอบ	34
4.1 ตารางแสดงค่าขนาดของเกรนของชิ้นงานที่ผ่านการอบอ่อนที่ 700 องศาเซลเซียส เป็นเวลา 30 นาที และ 240 นาที	39
5.1 การเปรียบเทียบผลการทดสอบความแข็งและผลการทดสอบแรงดึง	50
5.2 แสดงการเปรียบเทียบลักษณะความเสียหายจากแรงดึงของชิ้นงานที่มี ขนาดเกรนเล็ก 45 μm และ ชิ้นงานที่มีขนาดเกรนเล็ก 65 μm	51
ก.1 แสดงค่าแรงดึงสูงสุดของชิ้นงานที่มีขนาดเกรนเล็ก 45 μm และ ชิ้นงานที่มีขนาดเกรนเล็ก 65 μm	57
ก.2 แสดงค่าระยะการยืดของชิ้นงานที่มีขนาดเกรนเล็ก 45 μm และ ชิ้นงานที่มีขนาดเกรนเล็ก 65 μm	57
ก.3 ตารางแสดงค่าความต้านทานแรงดึง (Tensile strength) ของชิ้นงาน ที่มีขนาดเกรนเล็ก 45 μm และ ชิ้นงานที่มีขนาดเกรนเล็ก 65 μm	57
ก.4 ตารางแสดงการเปรียบเทียบเปอร์เซ็นต์การยืดตัว (Percentage elongation) ของชิ้นงานที่มีขนาดเกรนเล็ก 45 μm และ ชิ้นงานที่มีขนาดเกรนเล็ก 65 μm	58
ก.5 ตารางแสดงค่าโน้มคลื่สของความยืดหยุ่นของชิ้นงานที่มีขนาดเกรนเล็ก 45 μm และ ชิ้นงานที่มีขนาดเกรนเล็ก 65 μm	58
ก.1 ตารางแสดงค่าความแข็งของชิ้นงานที่มีขนาดเกรนเล็ก 45 μm และ ชิ้นงานที่มีขนาดเกรนเล็ก 65 μm	62

บทที่ 1

บทนำ

1.1 หลักการและเหตุผล

ปัจจัยหนึ่งที่มีผลต่อความสามารถในการรับแรงดึงของโลหะคือขนาดเกรน ขนาดเกรนที่ต่างกันย่อมจะส่งผลให้โลหะมีความแข็งแรงที่แตกต่างกัน และอาจให้ลักษณะความเสียหายที่เกิดขึ้นแตกต่างกัน

เหล็กกล้าคาร์บอนดำ เกรด AISI 1010 เป็นเหล็กที่มีปริมาณคาร์บอนผสมอยู่ $0.082 - 0.13\%$ มีโครงสร้างทางชุลภาพเป็นเฟอร์ไรต์ และมีคุณสมบัติ อ่อน เหนียว และ ไม่แข็งมากนัก สามารถนำไปเข็นรูปได้ง่าย เหล็กกล้าคาร์บอนดำ เกรด AISI 1010 ซึ่งจากสมบัติที่กล่าวมาจึงมีนิยมในการนำไปใช้งานในด้านต่างๆ มากมาย เช่น ไปใช้งานเหล็กโครงสร้างในงานก่อสร้างทุกชนิด เหล็กในงานเชื่อมโลหะ เหล็กเส้น นำไปปรุงเป็นเหล็กแผ่นใช้ทำดังบรรจุของเหลว ใช้ในอุตสาหกรรมรถยนต์ เป็นต้น [1] จะเห็นได้ว่าทั้งการเข็นรูปและการใช้งานโลหะจะต้องรับแรงกระทำในรูปแบบของแรงดึง

ดังนั้น ในการศึกษาครั้งนี้จึงมีความสนใจศึกษาลักษณะความเสียหายจากแรงดึงของเหล็กกล้าคาร์บอนดำเกรด 1010 ที่มีขนาดเกรนต่างกันซึ่งได้จากการอบอ่อนแบบไม่สมบูรณ์ในระยะเวลาที่ต่างกัน เพื่อที่จะนำความรู้ที่ได้ไปประยุกต์ใช้ในการเลือกใช้และปรับปรุงโครงสร้างชุลภาพให้มีคุณสมบัติที่เหมาะสมกับลักษณะการใช้งาน

1.2 วัตถุประสงค์ของโครงงาน

เพื่อศึกษาผลของขนาดเกรนที่มีต่อลักษณะความเสียหายจากแรงดึง

1.3 เกณฑ์ที่วัดผลงาน (Output)

1.3.1 โครงสร้างชุลภาคของเหล็กกล้าคาร์บอน เกรด AISI 1010 ที่มีขนาดเกรนต่างกัน

1.3.2 ลักษณะความเสียหายที่เกิดจากแรงดึง

1.4 เกณฑ์ชี้วัดผลสำเร็จ (Outcome)

- 1.4.1 มีความรู้ความเข้าใจเกี่ยวกับปัจจัยที่มีผลที่มีต่อขนาดเกรนที่ได้จากการอบอ่อน
- 1.4.2 มีความรู้ความเข้าใจเกี่ยวกับผลของขนาดเกรนที่มีต่อลักษณะความเสียหายอันเนื่องมาจากการแรงดึงในเหล็กกล้าคาร์บอน เกรด AISI 1010
- 1.4.3 สามารถวิเคราะห์ลักษณะความเสียหายที่เกิดขึ้นจากแรงดึงในเหล็กกล้าคาร์บอน เกรด AISI 1010 ที่มีขนาดของเกรนที่แตกต่างกัน

1.5 ขอบเขตในการดำเนินงานวิจัย

- 1.5.1 ใช้เหล็ก AISI 1010 ใน การทดสอบ
- 1.5.2 ทำการอบอ่อนแบบไม่สมบูรณ์ (Stress relief anneal) ที่อุณหภูมิ 700 องศาเซลเซียส เป็นเวลา 30 และ 240 นาที
- 1.5.3 ทำการทดสอบจะทดสอบแรงดึง ที่ความเร็ว 100 มิลลิเมตรต่อนาที

1.6 สถานที่ในการดำเนินการวิจัย

- 1.6.1 ห้องสมุดคณะวิศวกรรมศาสตร์ มหาวิทยาลัยนเรศวร
- 1.6.2 อาคารปฏิบัติการวิศวกรรมอุตสาหการ มหาวิทยาลัยนเรศวร
- 1.6.3 อาคารปฏิบัติการวิศวกรรมเครื่องกล มหาวิทยาลัยนเรศวร

1.7 ระยะเวลาในการดำเนินการวิจัย

เดือนกรกฎาคม 2551 - เดือนเมษายน 2552

1.8 ขั้นตอน และแผนการดำเนินงาน (Gantt Chart)

ตารางที่ 1.1 ขั้นตอน และแผนการดำเนินงาน (Gantt Chart) ทุก 2 อาทิตย์

บทที่ 2

หลักการและทฤษฎี

2.1 การอบอ่อน (Annealing)

เนื่องจากเหล็กที่ผ่านการขึ้นรูปเย็น (Cold working) หรือการหล่อร้อนมักจะมีความแข็งเพิ่มขึ้น และไม่สมบูรณ์ทำให้การกลึงหรือไส้ได้ยาก ดังนั้นจึงจำเป็นต้องทำลายความแข็งของเหล็กเพื่อ กลึงไส้ได้สะดวก มีสอง 2 วิธี คือ

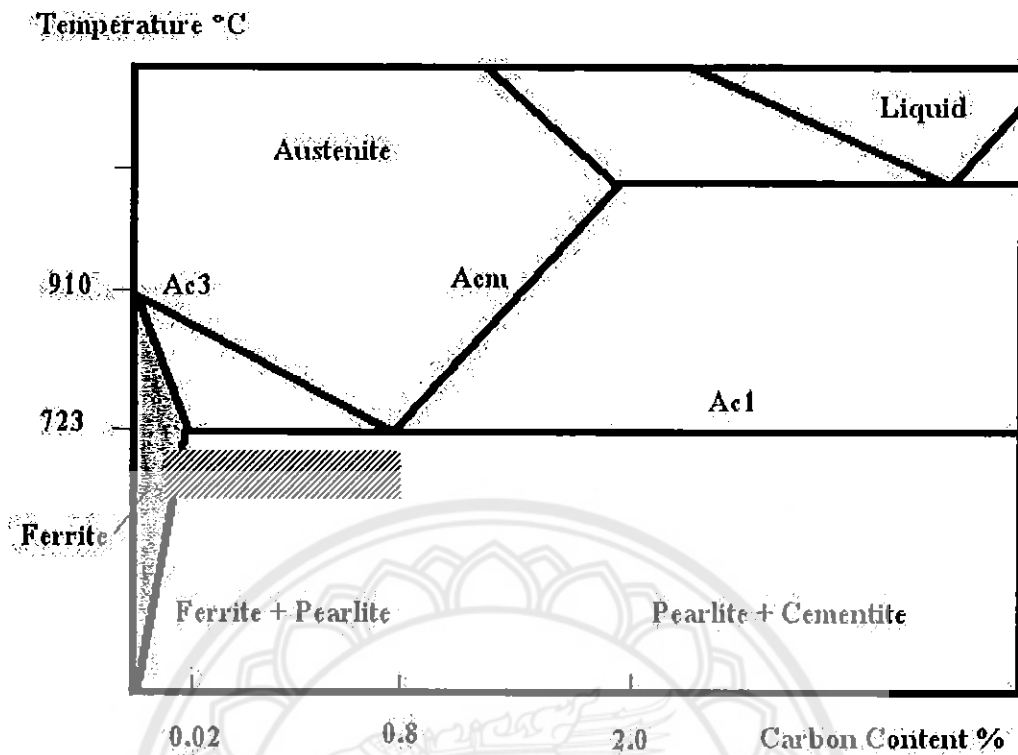
2.1.1 การอบอ่อนอย่างสมบูรณ์ (Full annealing)

สำหรับเหล็ก ไอโซเทกตอชด. เผาให้มีอุณหภูมิเหนือเส้น Ac3 ประมาณ 30-50 องศา เชลเซียส และสำหรับเหล็ก ไอซอร์บูเทกตอชด. เผาให้มีอุณหภูมิเหนือเส้น Ac1 ประมาณ 30-50 องศาเชลเซียส แข็งเหล็กทึบไว้ในเตา ให้เป็น austenite ทั้งหมด ปล่อยให้เย็นในเตาที่ปิดฝาสนิท (ถ้าเป็นเค้าไฟฟ้า ก็เพียงแต่ดองปลั๊กออก) เมื่อเหล็กถูกปล่อยให้เย็นช้าๆ การเปลี่ยนโครงสร้างภายใน ก็จะกลับสู่สภาพใกล้เคียงสมดุลโครงสร้างที่เป็นอยู่เดิม นั่นคือ นาร์เทน ไซต์หรือเบนไนต์ จะกลับมาเป็นเฟอร์ไรต์และซีเมนタイト์ ทำให้ความแข็งลดลงกลายเป็นเหล็กอ่อนนิ่น มีความนุ่ง หมายเพื่อทำให้เหล็กอ่อนลงเพื่อสะดวกในการกลึงไส

2.1.2 การอบอ่อนไม่สมบูรณ์ (Process annealing)

2.1.2.1 การอบอ่อนลดความเค็น (Stress - relief anneal)

เผาเหล็กให้มีอุณหภูมิต่ำกว่าเส้น Ac1 เล็กน้อย (500-700 องศาเชลเซียส) เมื่อ ต้องการลดความเค็น (Stress-relief) แข็งเหล็กทึบไว้ในเตาไวนานพอสมควรเพื่อให้เหล็กร้อนทั่วถึง กัน (ให้มีอุณหภูมิเท่ากันทั่วภายใน) ปล่อยให้เย็นในอากาศ วิธีนี้ความแข็งของเหล็กจะลดลง เล็กน้อย เพราะโครงสร้างของเหล็กแต่เดิมไม่เปลี่ยนแปลงมากนัก แต่ความเครียดที่มีอยู่จะถูก ทำลายหมดไป มีความนุ่งหมาย เพื่อทำลายความเครียดภายในให้หมดไป เช่น เหล็กที่ถูกรีดหรือตี ขึ้นรูปมาต้องผ่านการอบอ่อน เพื่อให้ความต้านทานแรงกระแทกน้อยลง

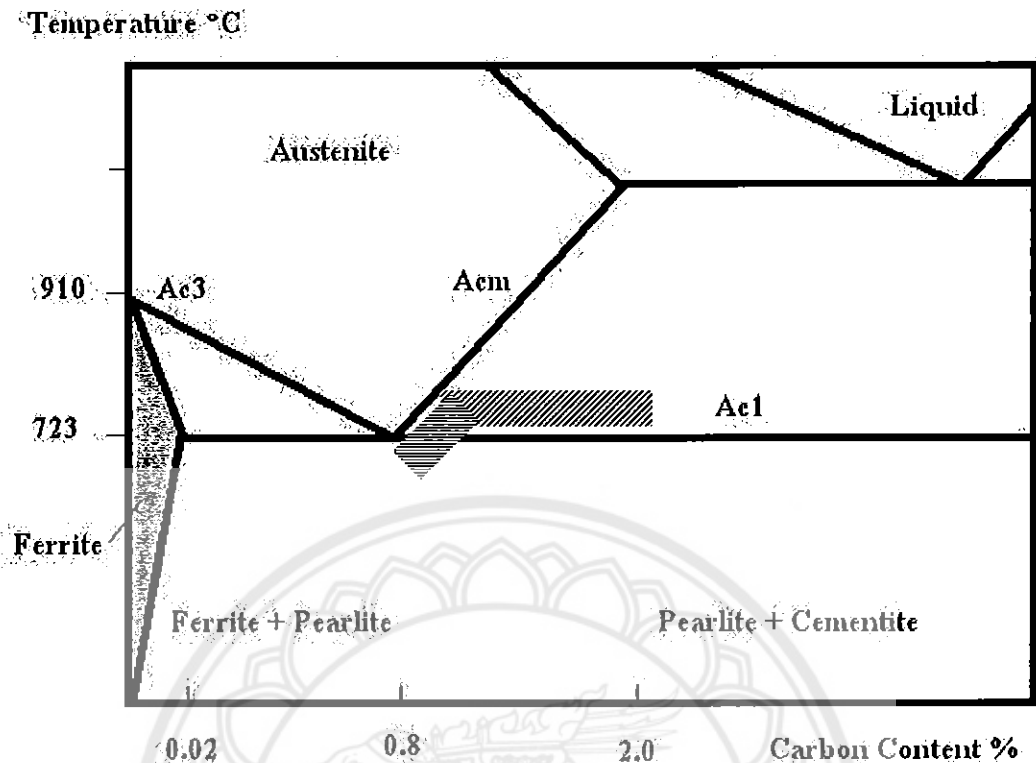


รูปที่ 2.1 แสดงอุณหภูมิการอบอ่อนลดความเค็น (Stress-relief anneal) จาก
แผนภูมิสมดุลเหล็ก-คาร์บอน

ที่มา: นนส สติรจินดา.วิศวกรรมการอบชุบเหล็ก,วิศวกรรมสถานแห่งประเทศไทยกรุงเทพ,2533

2.1.2.2 การอบการใบศักก้อนกลม (Spheroidising anneal)

สำหรับเหล็ก 0.7-0.8% C เพาให้มีอุณหภูมิต่ำกว่า Ac₁ และเพาสัมภักบัญชากว่า Ac₁ เพื่อให้อ่อนตัวสูง สำหรับเหล็กที่มากกว่า 0.8% C เพาให้มีอุณหภูมิสูงกว่าเส้น Ac₁ เล็กน้อย เพื่อให้อ่อนตัวสูง แข็งเหล็กทึ้งไว้ในเตาไว้นานพอสมควรปล่อยให้เย็นในอากาศ วิธีนี้ทำให้เหล็กมีความเหนียวเพิ่มขึ้น ลดความเปราะบาง เนื่องจากการเปลี่ยนโครงสร้าง เช่น มีคอลลิงสาระกลึงได้ผิวที่เรียบขึ้น มีความนุ่มนิ่มเพื่อทำให้ไปยูเทกตอยด์ซีเมนタイト์ขาดเป็นช่วงๆ และซีเมนタイト์ในเพอร์ลไทด์ ซึ่งเป็นແນบนาก (Lamella) มีลักษณะเป็นเม็ดกลมเล็กๆ (Spheroid) [1]



รูปที่ 2.2 แสดงอุณหภูมิการอบอ่อนการ์ไบค์ก้อนกลม (Spheroidising anneal)
จากแผนภูมิส่วนดุลเหล็กการรื้อน

ที่มา: มนัส สติรัตน์ฯ.วิศวกรรมการอบชุนเหล็ก,วิศวกรรมสถานแห่งประเทศไทยกรุงเทพ,2533

โลหะที่ผ่านกระบวนการขึ้นรูปเย็น (Cold work) น่าจะทำให้ขนาดของเกรน (Grain) มีความละเอียดมากขึ้น มีการเพิ่มจำนวนของคิสโลเคชัน ส่งผลทำให้การเคลื่อนที่ของคิสโลเคชันเป็นไปอย่างยากลำบากมากขึ้น ทำให้ต้องใช้แรงมากขึ้นในการทำให้คิสโลเคชัน เคลื่อนที่ เป็นผลให้โลหะ มีความแข็งแรงสูงขึ้น (Tensile strength และ Yield strength เพิ่มขึ้น) และมีความยืดหยุ่น (Elongation) ลดลง แต่ถ้าหากทำการขึ้นรูปเย็นต่อเนื่องโดยไม่มีกระบวนการทางความร้อนใดๆ มาช่วยให้โลหะ มีความอ่อนลงเลข จะทำให้ชิ้นงานเกิดการเปราะและแตกหักในที่สุด เพราะฉะนั้น การขึ้นรูปเย็น หลายๆ ครั้ง ต้องมีกระบวนการทางความร้อนมาช่วยทำให้โลหะนั้นอ่อนลงและสามารถขึ้นรูป ต่อไปได้ โดยเรียกกระบวนการที่ทำให้โลหะมีความอ่อนลงว่าการอบอ่อน (Annealing) ซึ่งกลไกที่เกิดขึ้นระหว่างกระบวนการประกอบไปด้วยกระบวนการเกิด การจัดเรียงตัวใหม่ (Recovery), การเกิดหลักใหม่ (Recrystallization) และการโต้ขึ้นของขนาดเกรน (Grain growth)

การเปลี่ยนแปลงรูปร่าง หรือการขึ้นรูปเย็นของโลหะที่มีหลาຍผลึก (Polycrystalline) ที่อุณหภูมิค่าก้าวๆ กุศหลอมตัวของโลหะชนิดนั้น จะทำให้โครงสร้างและสมบัติของโลหะนั้นเปลี่ยนแปลงไป ซึ่งรวมถึงการเปลี่ยนแปลงรูปร่างของเกรน การเกิดความแข็งเพิ่มขึ้นเมื่อจาก

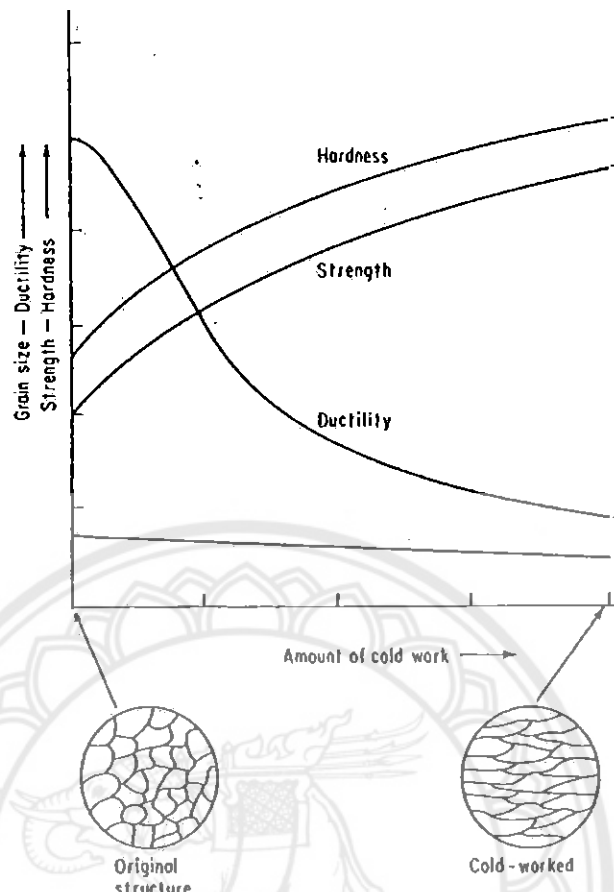
ความเครียด (Strain hardening) และจำนวนของคิสโลเคชัน มีความหนาแน่นมากขึ้น การเปลี่ยนแปลงนี้จะทำให้โลหะมีความเครียด (Strain) เพิ่มขึ้น ซึ่งจะมีผลต่อแรงดึง แรงอัด แรงเฉือน บริเวณโดยรอบของคิสโลเคชัน ที่เกิดขึ้นมาใหม่นอกจากนี้ คุณสมบัติอื่นๆ เช่น ความสามารถในการต้านทานไฟฟ้า ความสามารถในการต้านทานการกัดกร่อน ก็จะเปลี่ยนแปลงไป ซึ่งเป็นผลมาจากการขึ้นรูปเย็น

คุณสมบัติต่างๆ และโครงสร้างที่เปลี่ยนไปภายหลังการขึ้นรูปเย็นสามารถทำให้กลับคืนสู่สภาพก่อนการขึ้นรูปเย็น (Precold work states) ได้ โดยให้ผ่านกระบวนการทางความร้อน ที่เรียกว่า Annealing ซึ่งจะทำให้คุณสมบัติและโครงสร้างของโลหะกลับคืนสู่สภาพเดิม โดยการให้ความร้อนที่อุณหภูมิและเวลาที่เหมาะสม อะตอมในโลหะจะเกิดการเคลื่อนที่ไปอยู่ในตำแหน่งที่สมดุล ซึ่งจะส่งผลให้ความเครียดในโลหะลดลง รวมถึงทำให้ความต้านทานแรงดึง (Tensile strength) และความแข็ง (Hardness) ลดลงอีกด้วย

การอบอ่อนน้ำ แบ่งออกเป็น 3 ขั้นตอน คือ การทำให้เกิดการจัดเรียงตัวใหม่ (Recovery) การเกิดผลึกใหม่ (Recrystallization) และการโตบีนของขนาดเกรน (Grain growth) ในมีซึ่งโดยทั่วไปเป็นคุณสมบัติที่เราไม่ต้องการ เพราะจะทำให้ความแข็งแรงลดลง

1. การจัดเรียงตัวใหม่ (Recovery)

ในช่วงการเกิดการจัดเรียงตัวใหม่นี้ จะเกิดอยู่ในช่วงอุณหภูมิต่ำ ความเครียดภายในโลหะจะถูกทำให้คล่องบางส่วน โดยการจัดเรียงตัวของคิสโลเคชันเป็นผลให้คิสโลเคชัน มีจำนวนลดลง ทำให้ความเครียดลดลงไปบางส่วน และมีผลให้สมบัติทางกายภาพบางอย่าง เช่น สมบัติทางไฟฟ้าเปลี่ยนแปลงไปด้วย โดยจะถูกเปลี่ยนกลับไปเมื่ອ่อนสภาพก่อนทำการขึ้นรูปเย็น แต่ความแข็งแรงและความแข็งแรงยังคงมีค่าเท่าเดิม ซึ่งบังไม่มีการเปลี่ยนแปลงในขั้นตอนนี้

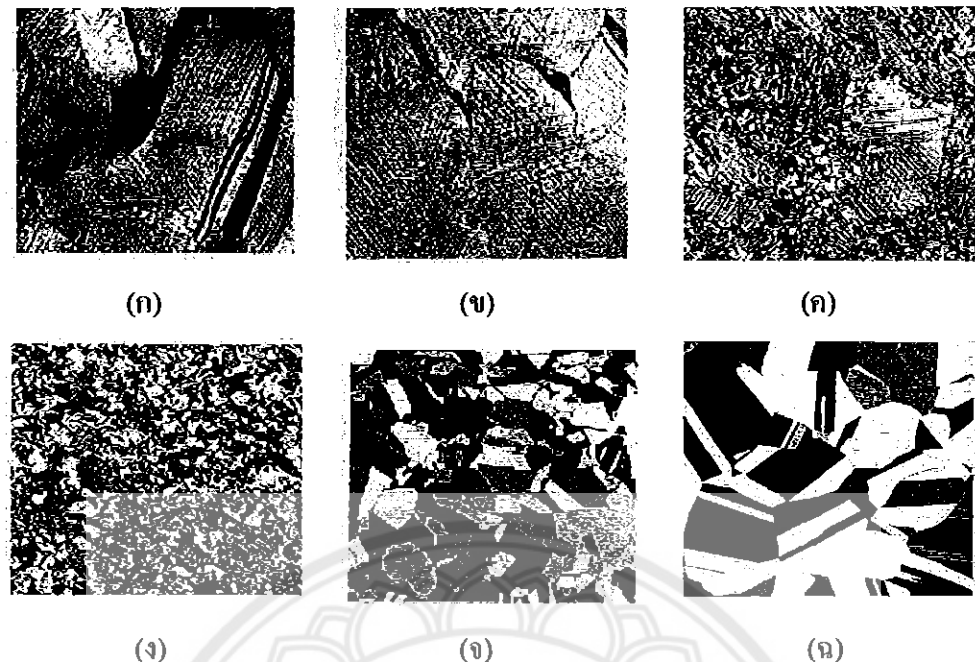


รูปที่ 2.3 แสดงการเกิดผลกระทบของการขึ้นรูปเย็นคือความต้านทานแรงดึง, ความแข็ง, ความเหนียว และขนาดเกรน

ที่มา: <http://images.google.co.th/imgres?imgurl=http://info.lu.farmingdale.edu/depts/met/met205/coldwork.jpg>

2. การเกิดผลึกใหม่ (Recrystallization)

หลังจากเกิดการจัดเรียงตัวใหม่เสร็จสิ้นลงเกรนของโลหะยังคงอยู่ในสภาพที่มีความเครียดสูงอยู่ การเกิดผลึกใหม่นั้นจะเกิดอยู่ในช่วงอุณหภูมิที่สูงกว่าการจัดเรียงตัวใหม่ ทำให้เกิดเกรนใหม่ที่ปราศจากความเครียด (Strain-free) ขึ้นมา ซึ่งจะมีจำนวนดิสโล凯ชันที่น้อย มีคุณสมบัติเหมือนกับสภาพก่อนทำการขึ้นรูปเย็น (Precold work) เกรนที่เกิดขึ้นมาใหม่นี้จะเกิดจาก นิวเคลียสขนาดเล็กๆ ที่เกิดขึ้นทั่วบริเวณที่มีพลังงานศักย์ (Potential energy) สูง เช่น ที่บริเวณของขอบเกรนเป็นต้น ซึ่งจะเริ่มขยายตัวขึ้นเรื่อยๆ จนแทนที่เกรนเดิมจะหมด ดังจะแสดงให้เห็นในรูปที่ 2.4 (ก) ถึง 2.4 (ข)

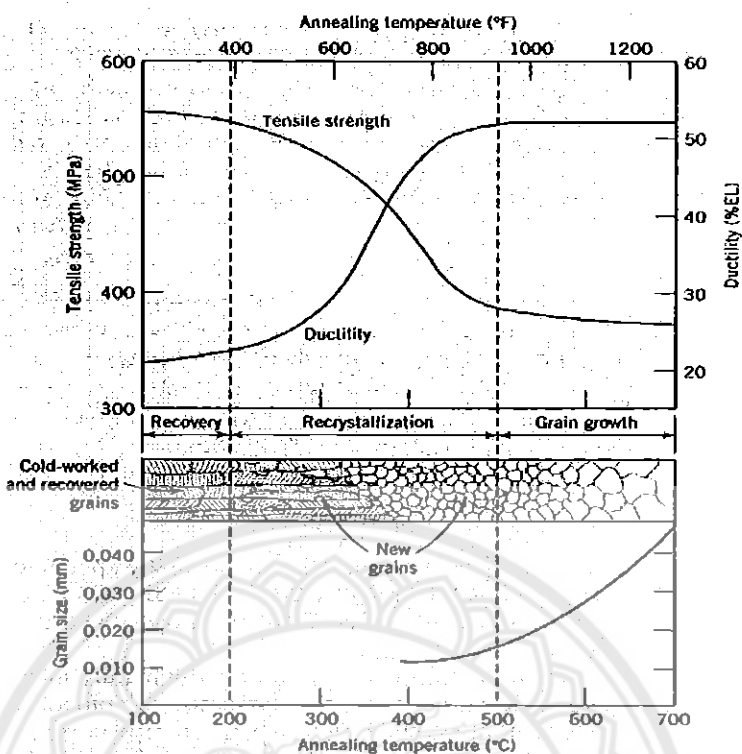


รูปที่ 2.4 ภาพด้วยกล้องส่องจุลทรรศน์ที่กำลังขยาย 75X โดยแสดงให้เห็นสภาพต่างๆ

ของการเกิดผลึกใหม่และการ töchong ของขนาดเกรนของทองเหลือง, (ก) ผ่านการขึ้นรูปเย็นมา 33%, (ข) เริ่มเกิดผลึกใหม่ที่อุณหภูมิ 580 องศาเซลเซียส เป็นระยะเวลา 3 วินาที จะเห็นเกรนขนาดเล็กเกิดขึ้น, (ค) การเกิดผลึกใหม่ที่อุณหภูมิ 580 องศาเซลเซียส เป็นระยะเวลา 4 วินาที, (ຈ) การเกิดผลึกใหม่โดยสมบูรณ์ที่อุณหภูมิ 580 องศาเซลเซียส เป็นระยะเวลา 8 วินาที, (ນ) การ töchong ขนาดเกรนเมื่อเวลาผ่านไป 15 นาที ที่อุณหภูมิ 580 องศาเซลเซียส, (ນ) การ töchong ขนาดเกรนเมื่อเวลาผ่านไป 10 นาที ที่อุณหภูมิ 700 องศาเซลเซียส

ที่มา: <http://images.google.co.th/imgres?imgurl=http://info.lu.farmingdale.edu/depts/met/met205/coldwork.jpg>

หลังจากการเกิดผลึกใหม่แล้ว คุณสมบัติทางกลที่ได้จากการขึ้นรูปเย็นจะเปลี่ยนไปโดยจะมีคุณสมบัติเหมือนกับที่ขึ้นไม่ได้ทำการขึ้นรูปเย็นซึ่งจะมีความอ่อน และมีการขีดตัว (Ductility) ที่สูงขึ้น ความแข็งและความแข็งแรงลดลงกระบวนการการเกิดผลึกใหม่จะชั้นอยู่กับเวลาและอุณหภูมิที่ใช้ในการอบอัตราการเกิดผลึกใหม่จะสูงขึ้นเมื่อเวลาที่ใช้ในการอบเพิ่มมากขึ้น ซึ่งจะแสดงให้เห็นในรูปที่ 2.4 (ก) ถึง 2.4 (น)

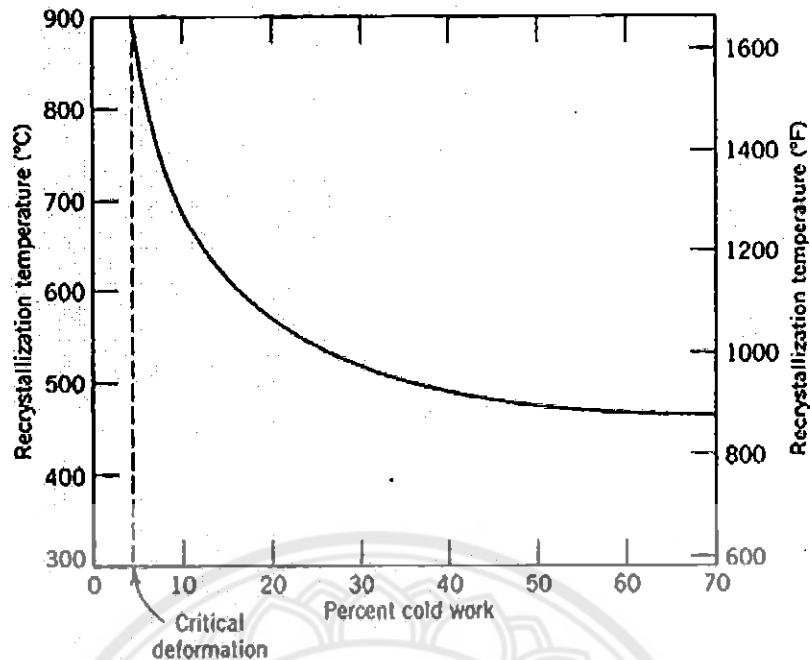


รูปที่ 2.5 อิทธิพลของอุณหภูมิในการอบอ่อนที่มีผลต่อความถ้วนทานแรงดึงและ การยืดด้วยของทองเหลืองผสม และขนาดของเกรนที่เปลี่ยนแปลงไป เมื่อเกิดการเรียงตัวใหม่การเกิดผลึกใหม่และการโตของขนาดเกรน

ที่มา: <http://images.google.co.th/imgres?imgurl=http://info.lu.farmingdale.edu/depts/met/met205/coldwork.jpg>

ผลจากอุณหภูมิแสดงให้เห็นในรูปที่ 2.5 ซึ่งแสดงความสัมพันธ์ระหว่างความแข็งแรงและการยืดด้วยอุณหภูมิท้องของทองเหลืองผสม โดยแสดงการเปลี่ยนแปลงของความแข็งแรงและการยืดด้วยเมื่ออุณหภูมิในการอบเปลี่ยนไป ซึ่งใช้เวลาในการอบ 1 ชั่วโมง

การเกิดผลึกใหม่ของโลหะใดๆ จะมีอุณหภูมิที่ใช้แตกต่างกันไป โดยอุณหภูมิที่ต่ำที่สุดที่สามารถทำให้เกิดผลึกใหม่เรียกว่า อุณหภูมิการเกิดผลึกใหม่ (Recrystallization temperature) ซึ่งจะเป็นอุณหภูมิที่ทำให้เกิดกระบวนการการเกิดผลึกใหม่ภายใน 1 ชั่วโมง ซึ่งโดยทั่วไปจะอยู่ระหว่าง 1/3 - 1/2 เท่าของอุณหภูมิหลอมเหลวของโลหะชนิดนั้นๆ แต่ก็ขึ้นอยู่กับอิทธิพลหลายปัจจัยกัน รวมถึงจำนวนครั้งในการขึ้นรูปเย็น (Cold work), ความบริสุทธิ์ของโลหะผสม, การเพิ่มแปรรูป เช่น ในการขึ้นรูปเย็น (Percentage of cold work) ที่มีผลต่ออัตราการเกิดผลึกใหม่ซึ่งต้องใช้อุณหภูมิการเกิดผลึกใหม่ที่ต่ำลง ดังที่แสดงในรูปที่ 2.6 สำหรับแปรรูปเช่นเดียวกับการขึ้นรูปที่ต่ำเกินไปก็ไม่สามารถที่จะทำให้เกิดผลึกใหม่ได้



รูปที่ 2.6 ความสัมพันธ์ของอุณหภูมิในการเกิดผลึกใหม่กับเบอร์เซ็นต์ในการขึ้นรูปเย็น

แสดงให้เห็นเบอร์เซ็นต์ในการขึ้นรูปเย็นค่าสุดที่สามารถทำให้เกิดผลึกใหม่

ที่มา: <http://images.google.co.th/imgres?imgurl=http://info.lu.farmingdale.edu/depts/met/met205/coldwork.jpg>

การเกิดผลึกใหม่โลหะบริสุทธิ์จะเกิดได้เร็วกว่าโลหะผสม ดังนั้นการเติมชาตุผสมเข้าไป จึงทำให้ต้องเพิ่มอุณหภูมิในการเกิดผลึกใหม่สำหรับอุณหภูมิการเกิดผลึกใหม่ที่ใช้กับโลหะบริสุทธิ์ จะมีค่าประมาณ $0.3T_m$ และโลหะผสมบางชนิดอาจสูงถึง $0.7T_m$ เมื่อ T_m คืออุณหภูมิในการหลอมตัว ของโลหะชนิดนั้นๆ โดยจะแสดงให้เห็นในตารางที่ 2.1

ตารางที่ 2.1 แสดงค่าการเกิดผลึกใหม่และอุณหภูมิในการหลอมตัว (Recrystallization and Melting Temperature for Various Metals and Alloys)

Metal	Recrystallization Temperature		Melting Temperature	
	°C	°F	°C	°F
Lead	-4	25	327	620
Tin	-4	25	232	450
Zinc	10	50	420	788
Aluminum (99.999 wt%)	80	176	660	1220
Copper (99.999 wt%)	120	250	1085	1985
Brass (60 Cu-40 Zn)	475	887	900	1652
Nickel (99.999 wt%)	370	700	1455	2651
Iron	450	840	1538	2800
Tungsten	1200	2200	3410	6170

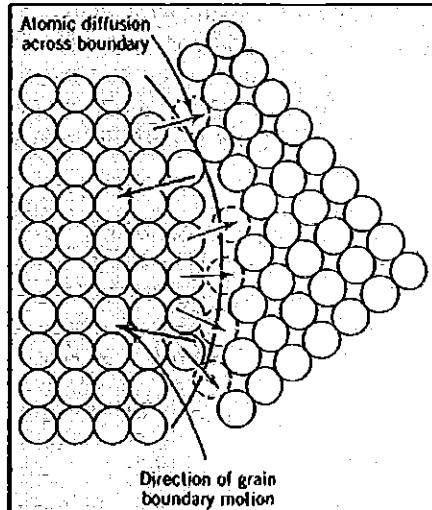
ที่มา: <http://images.google.co.th/imgres?imgurl=http://info.lu.farmingdale.edu/depts/met/met205/coldwork.jpg>

สำหรับการขึ้นรูปที่อุณหภูมิสูงกว่าอุณหภูมิที่เกิดผลึกใหม่เราเรียกกระบวนการนี้ว่าการขึ้นรูปร้อน (Hot working) ซึ่งสมบัติต่างๆ เช่น การยืดตัว บั้งคงไม่เปลี่ยนแปลงไปหลังจากการขึ้นรูป เพราะไม่เกิดความเครียด (Strain hardening)

3. การโตของขนาดเกรน (Grain growth)

หลังจากการเกิดผลึกใหม่เสร็จสิ้นลงเกรนที่เกิดขึ้นมาใหม่จะมีสภาพที่ปราศจากความเครียด (Strain-free grain) เมื่อให้อุณหภูมิที่สูงกว่าอุณหภูมิการเกิดผลึกใหม่ (Recrystallization Temperature) จะทำให้เกรนที่เกิดขึ้นมาใหม่มีการขยายขนาดใหญ่ขึ้น โดยปรากฏการณ์นี้เราระยิกว่าการโตของขนาดเกรน

การโตของขนาดเกรนไม่จำเป็นต้องเกิดภายหลังจากการเกิด การเรียงตัวใหม่ การเกิดผลึกใหม่และการโตของขนาดเกรน อาจจะเกิดขึ้นได้กับโลหะที่เป็นพหุผลึก (Polycrystalline) ทุกชนิด และเซรามิกต่อไป



รูปที่ 2.7 แสดงการเกิดการ โடของขอบเกรน โดยการแพร่ของอะตอม

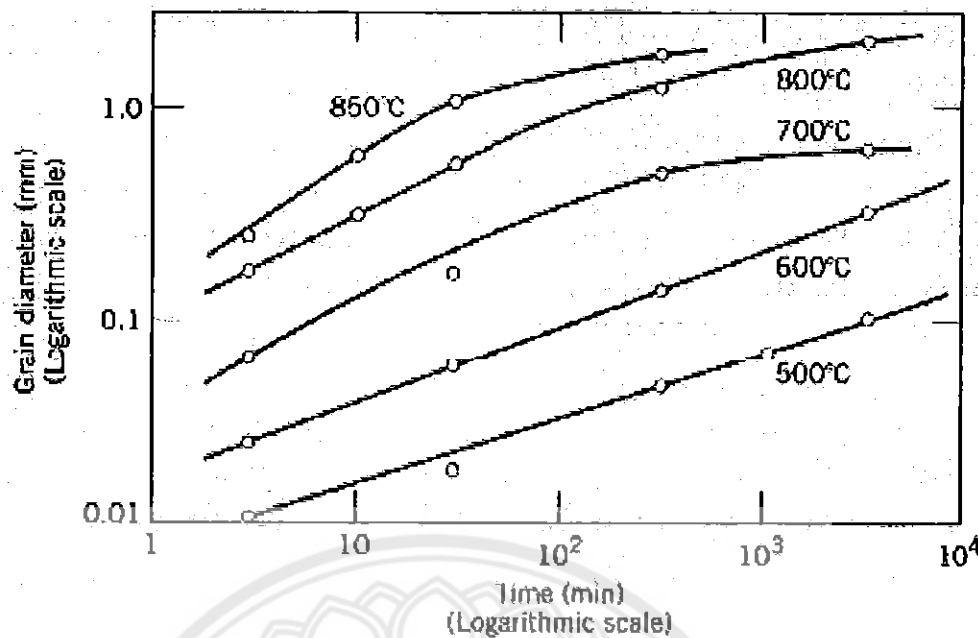
ที่มา: <http://images.google.co.th/imgres?imgurl=http://info.lu.farmingdale.edu/depts/met/met205/coldwork.jpg>

การ โடของขนาดเกรนเกิดขึ้น โดยการเคลื่อนตัวของขอบเกรโนอกไป ไม่เพียงแต่เกรนจะสามารถขยายใหญ่ขึ้น ໄດ້ອາງแล้ว ยังสามารถไปรวมกับเกรนข้างๆ ทำให้เกิดเกรนที่มีขนาดใหญ่นากขึ้นໄປอีก โดยขนาดของเกรนจะเพิ่มขึ้นเมื่อเวลาในการอบนานขึ้น การเคลื่อนที่ของขอบเกรนที่ขยายออกมานามารถเกิดขึ้นได้โดยการแพร่ของอะตอมจากขอบเกรนหนึ่งสู่อีกขอบเกรนหนึ่ง โดยทิศทางของการเคลื่อนที่ของขอบเกรนจะตรงข้ามกับการเคลื่อนที่ของอะตอม ดังแสดงในรูปที่ 2.7 ขนาดของเกรนที่เพิ่มขึ้นในเวลาหนึ่งๆ นั้นสามารถคำนวณได้จากความสัมพันธ์

$$d^n - d_0^n = Kt \quad (2.1)$$

เมื่อ d_0 คือขนาดเกรนเดิม (ที่เวลา $t=0$), d คือขนาดเกรน (Grain) เมื่อเวลาเพิ่มมากขึ้น, n และ K เป็นค่าคงที่ที่ขึ้นอยู่กับเวลา โดยทั่วไปค่าของ n จะมีค่ามากกว่าหรือเท่ากับ 2

ขนาดของเกรนจะขึ้นอยู่กับเวลาและอุณหภูมิในการอบ ดังแสดงในรูปที่ 2.8 ซึ่งแสดงถึง ผลของอุณหภูมิและเวลาที่มีผลต่อขนาดเกรนของทองเหลืองผง โดยสังเกตได้ว่าในช่วงอุณหภูมิต่ำๆ Graf จะมีลักษณะเป็นเส้นตรง การเกิดการ โടของขนาดเกรนจะเกิดได้อบ่างรวดเร็วเมื่ออุณหภูมิที่ใช้สูงขึ้น ทำให้อัตราการแพร่สูงขึ้น ซึ่งสังเกตได้จากการจะโถงสูงขึ้น [2]



รูปที่ 2.8 กราฟแสดงความสัมพันธ์ของขนาดเกรนและระยะเวลาในการเกิดการโคลงของขนาดเกรนของทองเหลืองที่อุณหภูมิต่างๆ

ที่มา: <http://images.google.co.th/imgres?imgurl=http://info.lu.farmingdale.edu/depts/met/met205/coldwork.jpg>

คุณสมบัติทางกลที่อุณหภูมิห้องขององค์เกรนที่มีความละเอียดจะมีความแข็งแรงที่สูงกว่าเกรนที่ขยายกว่า สามารถอธิบายได้จากทฤษฎีของคิสโลเคลชั่นเพราบอนเกรน (Grain boundary) จะเป็นตัวขัดขวางการเดื่อน ไกล (Slip) ของคิสโลเคลชั่นทำให้เกิดการหันบนของคิสโลเคลชั่นบนระนาบการเดื่อน (Slip plan) ใกล้กับ ขอบเกรน ถ้าจะทำให้เกิดการเดื่อนไกล (Slip) ต่อไปก็จะต้องใช้แรงมากขึ้น ถ้าโลหะมีขนาดของเกรนเล็กนั้นคือน้อยของเกรนมาก ก็จะมีผลทำให้การเคลื่อนที่ของคิสโลเคลชั่นยากขึ้น หรือต้องใช้ความคืบสูงขึ้นนั่นเอง ดังนั้น โลหะที่มีเกรนละเอียดก็จะมีความแข็งแรงสูงกว่าเกรนที่ขยายกว่า [3]

2.2 การหาขนาดเกรน

การหาขนาดของกรนสามารถคำนวณได้จากวิธี Mean linear intercept [4] จากสมการ

$$G = -10.00 - 6.60 \log L_3 \quad (2.2)$$

$$L_3 = L_T / PM \quad (2.3)$$

เมื่อ L_T คือ ขนาดของเส้นรอบวงที่นำมาหาจุดตัดของกรน

P คือ จำนวนจุดตัด

M คือ กำลังขยายของภาพ

L_3 คือ ค่าความยาวเฉลี่ยของจุดตัด

G คือ หมายเลขอขนาดของเกรน

ซึ่งสามารถเทียบได้จากตารางที่ 2.2 ตามมาตรฐาน ASTM Standard E112 เพื่อหาขนาดเกรนเฉลี่ย



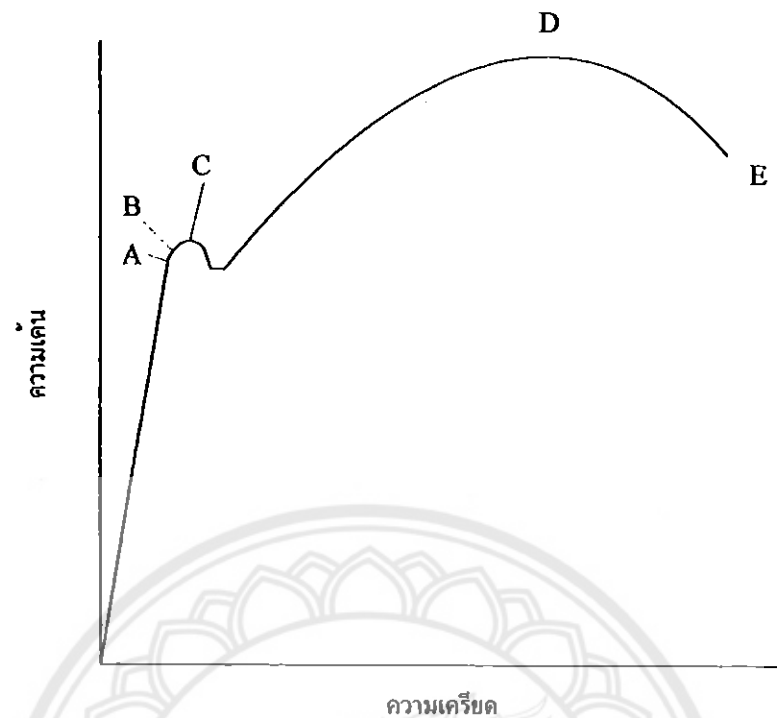
ตารางที่ 2.2 แสดงค่าขนาดเมรุมาตรฐาน ASTM Standard E112

ASTM No.	Grain/mm. ²	Grain/ mm. ³	Average Grain Diameter (mm.)
-1	3.9	6.1	0.45
0	7.8	17.3	0.36
1	15.5	49.0	0.25
2	31.0	138	0.18
3	62.0	391	0.125
4	124	1105	0.090
5	248	3126	0.065
6	496	8842	0.045
7	992	25010	0.032
8	1980	70700	0.022
9	3970	200000	0.016
10	7940	566000	0.011
11	15870	1600000	0.008
12	31700	4527000	0.006

ที่มา: เอกสารประกอบการเรียนวิชา PRE 257 Metallurgy Laboratory II ภาควิชาวิศวกรรม
อุตสาหการ, มหาวิทยาลัยเทคโนโลยีพระจอมเกล้าธนบุรี

2.3 การทดสอบแรงดึง (Tension Test)

วิธีการทดสอบนี้ เราจะนำตัวอย่างที่จะทดสอบมาดึงอย่างช้าๆ แล้วบันทึกค่าของความก dein และความเครียดที่เกิดขึ้นไว้ แล้วมาพอลอตเป็นเส้นโค้งค้างรูปที่ 2.10 ขนาดและรูปร่างของชิ้นทดสอบมีต่าง ๆ กัน ขึ้นอยู่กับชนิดของวัสดุนั้นๆ มาตรฐานต่างๆ ของการทดสอบ เช่น มาตรฐานของ ASTM (American Society of Testing and Materials), BS (British Standards), JIS (Japanese Industrial Standards) หรือแม้แต่ มาตรฐานผลิตภัณฑ์อุตสาหกรรมไทย (มอก.) ได้กำหนดขนาดและรูปร่างของชิ้นทดสอบไว้ ทั้งนี้เพื่อให้ผลของการทดสอบเชื่อถือได้ พร้อมกับกำหนดความเร็วในการเพิ่มแรงกระทำเอาไว้ด้วย [5]



รูปที่ 2.9 เส้นโค้งความคืบ-ความเครียด (Stress-strain curve)

แบบมีจุดคราก (Yield point)

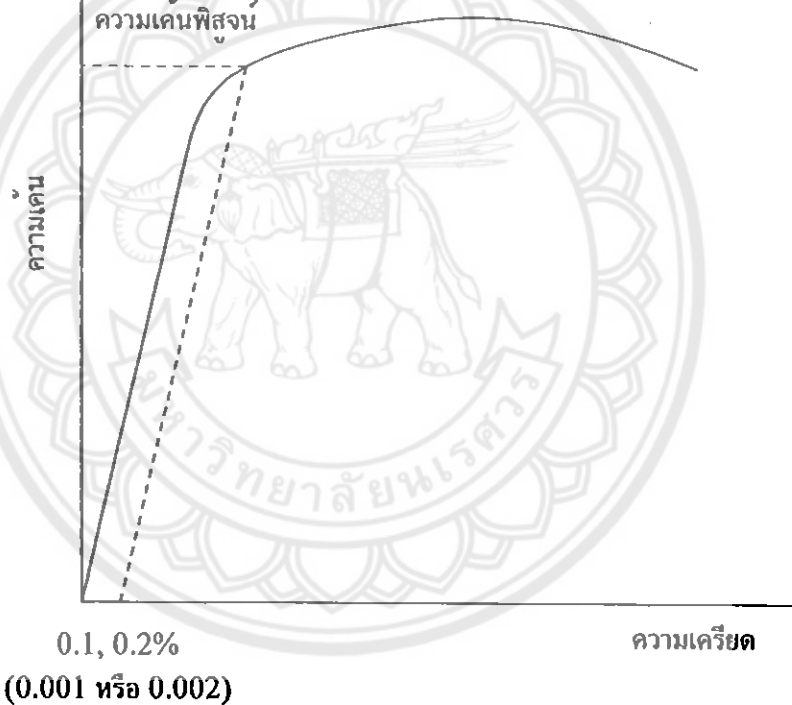
ที่มา: http://www.elecnet.chandra.ac.th/learn/courses/5513101/chapter_6/tension_test.html

จากการศึกษาเส้นโค้งความคืบ-ความเครียด เราพบว่า เมื่อเราเริ่มดึงชิ้นทดสอบอย่างช้าๆ ชิ้นทดสอบจะค่อยๆ ยืดออก จนถึงจุดหนึ่ง (จุด A) ซึ่งในช่วงนี้ความสัมพันธ์ระหว่างความคืบ-ความเครียดจะเป็นสัดส่วนคงที่ ทำให้เราได้กราฟที่เป็นเส้นตรง ตามกฎของhook (Hook's law) ซึ่งกล่าวว่าความคืบเป็นสัดส่วนโดยตรงกับความเครียด จุด A นี้เรียกว่าพิกัดสัดส่วน (Proportional limit) และภายในพิกัดสัดส่วนนี้ วัสดุจะแสดงพฤติกรรมการคืนรูปแบบอิลาสติก (Elastic Behavior) นั้นคือเมื่อปล่อยแรงกระทำ ชิ้นทดสอบจะกลับไปมีขนาดเดิม

เมื่อเราเพิ่มแรงกระทำต่อไปจนเกินพิกัดสัดส่วน เส้นกราฟจะค่อยๆ โค้งออกจากเส้นตรง วัสดุหลายชนิดจะยังคงแสดงพฤติกรรมการคืนรูปได้อีกเล็กน้อยจนถึงจุดหนึ่ง (จุด B) เรียกว่า พิกัดยึดหยุ่น (Elastic limit) ซึ่งจุดนี้จะเป็นจุดกำหนดว่าความคืบสูงสุดที่จะไม่ทำให้เกิดการเปลี่ยนรูปถาวร (Permanent deformation or offset) กับวัสดุนั้น เมื่อหัวนิ้วไปแล้ววัสดุจะมีการเปลี่ยนรูปอย่างถาวร (Plastic deformation) ลักษณะการเริ่มต้นของความเครียดแบบพลาสติกนี้ แปลงเป็นรูปแบบพลาสติกในโลหะหลายชนิด เช่น พากเหล็กกล้าคาร์บอนต่ำ (Low carbon steel) จะเกิดการเปลี่ยนรูปอย่างรวดเร็ว โดยไม่มีการเพิ่มความคืบ (บางครั้งอาจจะคลงก้ม) ที่จุด C ซึ่งเป็นจุดที่เกิดการเปลี่ยนรูปแบบพลาสติก จุด C นี้เรียกว่าจุดคราก (Yield point)

และค่าของความเค้นที่จุดนี้เรียกว่า ความเค้นจุดคราก (Yield stress) หรือ (Yield strength) ค่าความเค้นจุดครากนี้มีประโยชน์กับวิศวกรรมมาก เพราะเป็นจุดแบ่งระหว่างพฤติกรรมการคืนรูป กับ พฤติกรรมการคงรูป และในกรณีของโลหะจะเป็นค่าความแข็งแรงสูงสุดที่เราคงใช้ประโยชน์ได้โดยไม่เกิดการเสียหาย

วัสดุหลายชนิด เช่น อะลูมิเนียม ทองแดง จะไม่แสดงจุดครากอย่างชัดเจน แต่เราจะมีวิธีที่จะหาได้โดยกำหนดความเครียดที่ $0.10 - 0.20\%$ ของความยาวกำหนดเดิม (Original gage length) แล้ว ถ้ากําเนดานานกับกราฟช่วงแรกไปจนตัดเส้นกราฟที่โค้งไปทางด้านขวา ดังรูปที่ 2.11 ค่าความเค้นที่จุดตัดนี้จะนำมาใช้แทนค่าความเค้นจุดครากได้ ความเค้นที่จุดนี้บางครั้งเรียกว่า ความเค้นพิสูจน์ (Proof stress) หรือความเค้น 0.1 หรือ $0.2\% \text{ offset}$ ดังแสดงในรูปที่ 2.11



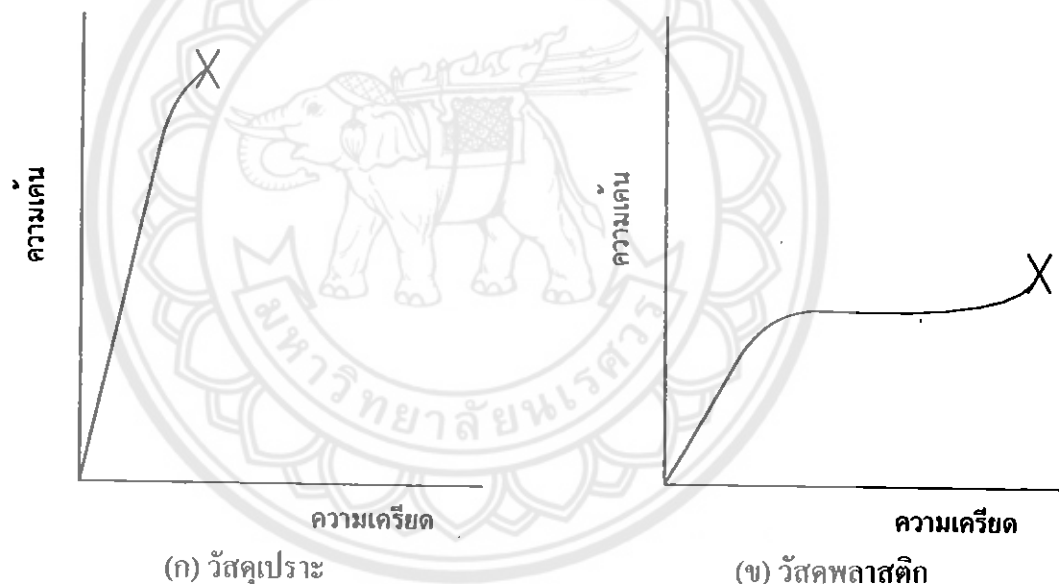
รูปที่ 2.10 เส้นโค้งความดัน-ความเครียดแบบที่ไม่มีจุดคราก

ที่มา: http://www.elecnet.chandra.ac.th/learn/courses/5513101/chapter_6/tension_test.

หลังจากจุดครากแล้ว วัสดุจะเปลี่ยนรูปแบบพลาสติกโดยความดันจะค่อยๆ เพิ่มอย่างช้าๆ หรืออาจจะคงที่จนถึงจุดสูงสุด (จุด D) ค่าความเค้นที่จุดนี้เรียกว่า ความดันทานสูงสุด (Ultimate strength) หรือความดันทานแรงดึง (Tensile strength) ซึ่งเป็นค่าความเค้นสูงสุดที่วัสดุจะทนได้ ก่อนที่จะขาดหรือแตกออกจากกัน (Fracture) เนื่องจากวัสดุหลายชนิดสามารถเปลี่ยนรูปอย่าง พลาสติกได้มากๆ ค่าความเค้นสูงสุดนี้สามารถนำมาคำนวณใช้งานได้ นอกจากนี้ ค่านี้ยังใช้เป็น

ดังนีเปรียบเทียบคุณสมบัติของวัสดุได้ด้วยว่า คำว่า ความแข็งแรง ของวัสดุ หรือ กำลังวัสดุ นั้น โดยทั่วไป จะหมายถึงค่าความเดินสูงสุดที่วัสดุทันได้นี้เอง

ที่จุดสุดท้าย (จุด E) ของกราฟ เป็นจุดที่วัสดุเกิดการแตกหรือขาดออกจากกันสำหรับโลหะบางชนิด เช่น เหล็กกล้าcarbอนต์หรือโลหะหนึ่งๆ ค่าความเดินประสลักษณ์ (Rupture strength) นี้จะต่ำกว่าความเดินสูงสุด เพราะเมื่อเดินจุด D ไป ผู้ที่ภาคตัดขวางของตัวอย่างทดสอบลดลง ทำให้พื้นที่จะดำเนินการแรงดึงลดลงด้วย ในขณะที่เราบังคงคำนวณค่าของความเดินจากพื้นที่หน้าตัดเดินของวัสดุก่อนที่จะทำการทดสอบแรงดึง ดังนั้นค่าของความเดินจึงลดลง ส่วนโลหะอื่นๆ เช่น โลหะที่ผ่านการขึ้นรูปเย็นมาแล้ว มันจะแตกหักที่จุดความเดินสูงสุด โดยไม่มีการลดขนาดพื้นที่ภาคตัดขวาง ดังรูป 2.12 (ก) ทำนองเดียวกับพลาสติกวัสดุเปราะ (Brittle materials) เช่น เศรษฐมิค ที่มีการเปลี่ยนรูปอย่างพลาสติกน้อยมากหรือไม่มีเลย ส่วนกรณีของวัสดุที่เป็นพลาสติกจะเกิดแตกหักโดยที่ต้องการความเดินสูงขึ้น ดังรูป 2.12 (ข)



รูปที่ 2.11 เปรียบเทียบเส้นโค้งความเดิน-ความเครียดของวัสดุเปราะและวัสดุพลาสติก

ที่มา: http://www.elecnet.chandra.ac.th/learn/courses/5513101/chapter_6/tension_test.html

เส้นโค้งความเดิน-ความเครียดนี้ นอกจากระใช้บอกค่าความแข็งแรง ยุคแรก ความเดินสูงสุดและความเดินประสลักษณ์แล้ว ยังจะใช้บอกค่าต่างๆ ได้อีกดังนี้ ดัง

2.3.1 ความเหนี่ยว (Ductility)

ค่าที่ใช้วัดจะบอกเป็นเปอร์เซ็นต์การยืดตัว (Percentage elongation) และการลดพื้นที่ภาคตัดขวาง (Reduction of area) โดยที่

$$\text{เปอร์เซ็นต์การยืดตัว (\%EI)} = \frac{L_f - L_o}{L_o} \cdot 100\% \quad (2.4)$$

เมื่อ L_f = ความยาวของเกจหลังจากคึ่งจนขาด

L_o = ความยาวของเกจเริ่มต้น

$$\text{การลดพื้นที่ภาคตัดขวาง (\%R.A.)} = \frac{A_o - A_f}{A_o} \cdot 100\% \quad (2.5)$$

เมื่อ A_o = พื้นที่หน้าตัดก่อนคึ่ง

A_f = พื้นที่หน้าตัดหลังจากคึ่งขาด

ในทางปฏิบัติเรามักใช้ค่าเปอร์เซ็นต์การยืดตัวมากกว่าเพราะะគุกในการวัด ความเหนี่ยวของวัสดุนี้จะเป็นตัวบ่งบอกความสามารถในการขึ้นรูปของมัน คือถ้าวัสดุมีความเหนี่ยวคือ (เปอร์เซ็นต์การยืดตัวสูง) ก็สามารถนำไปขึ้นรูป เช่น รีด ตีขึ้นรูป คงเป็นลวด ฯลฯ ได้ง่าย แต่ถ้ามีความเหนี่ยวต่ำ (เบรอะ , Brittle) ก็จะนำไปขึ้นรูปยาก หรือทำไม่ได้ เป็นต้น

2.3.2 โมดูลัสของความยืดหยุ่น หรือ ความแข็งตึง (Stiffness)

ภาษาไทยก็สั้นๆว่า วัสดุมีพฤติกรรมเป็นอิลาสติก อัตราส่วนระหว่างความเค้นต่อความเครียดจะเท่ากับค่าคงที่ ค่าคงที่นี้เรียกว่า โมดูลัสของความยืดหยุ่น (E) หรือ โมดูลัสของยัง หรือ ความแข็งตึง (Stiffness)

$$E = \frac{\sigma}{e} = \frac{PL}{A\Delta L} \quad (2.6)$$

นักมีหน่วยเป็น ksi (1 ksi=1000 psi) หรือ kgf/mm² หรือ GPa (สังเกตว่าเป็นหน่วยเดียวกับหน่วยของความเค้น)

ถ้าแรงที่มีการกระทำเป็นแรงเฉือนเราเรียกค่าคงที่นี้ว่า เทียร์โนดูลัส (G)

$$G = \frac{\tau}{\gamma} = \frac{Ph}{Aa} \quad (2.7)$$

ค่า E และ G ของวัสดุแต่ละชนิดจะมีค่าเฉลี่ยคงที่ และเป็นตัวบ่งบอกความสามารถคงรูป (Stiffness, Rigidity) ของวัสดุ นั่นคือ ค่า E และ G มีค่าสูง วัสดุจะเปลี่ยนรูปอย่างอิสระติดได้ยาก แต่ค่า E และ G ต่ำ มันก็จะเปลี่ยนรูปอย่างอิสระติดได้มาก ค่า E และ G นี้มีประโยชน์มาก สำหรับงานออกแบบวัสดุที่ต้องรับแรงต่างๆ ตารางที่ 2.3 จะแสดงตัวอย่างค่า E และ G ของวัสดุต่างๆ ไว้

2.3.3 ความเค้นดึง (Tensile stress)

ความเค้นดึงเกิดจากแรงดึงที่พยายามทำให้วัสดุขึ้นด้วยออกกำหนดให้

$$\sigma = F / A \quad (2.8)$$

เมื่อ σ = ความเค้นดึง (N/mm^2)

F = แรงดึง (N)

A = พื้นที่หน้าตัดที่รับแรงดึง (mm^2)

ตารางที่ 2.3 ตัวอย่างค่าคงที่ E และ G ของวัสดุชนิดต่างๆ

วัสดุ	Modulus of elasticity 10^6 psi	Shear Modulus 10^6 psi
Aluminium alloy	10.5	4.0
Copper	16.0	6.0
Steel (plain carbon and low alloys)	29.0	11.0
Stainless Steel (18.8)	28.0	9.5
Titanium	17.0	6.5
Tungsten	58.0	22.8

ที่มา: http://www.elecnet.chandra.ac.th/learn/courses/5513101/chapter_6/tension_test.

ความสัมพันธ์ของค่าความเค้นจุดคราก (Yield stress) และค่าขนาดเกรน (Grain size)
ดังสมการ 2.9

$$\sigma_0 = \sigma_i + kD^{-1/2} \quad (2.9)$$

เมื่อ σ_0 = ความเค้นจุดคราก

σ_i = ค่าจุดตัดแกนความสัมพันธ์ (Friction Stress)

k = ค่าที่ได้จากการซั้นของความสัมพันธ์ของความเค้นที่จุดครากและกับ
รากที่สองของขนาดเกรน

D = เส้นผ่านศูนย์กลางของขนาดเกรน

2.4 เหล็กกล้าคาร์บอนต่ำ (Low carbon steel)

เหล็กกล้าคาร์บอนต่ำ จัดได้ว่าเป็นเหล็กที่มีปริมาณธาตุคาร์บอนผสมอยู่ในเนื้อเหล็กน้อย
ที่สุด คือ มีธาตุคาร์บอนผสมอยู่ประมาณ 0.10-0.03 % โดยน้ำหนักกิโลกรัมตามมาตรฐานอเมริกัน
คือ AISI 1010 – 1030 กำหนดมาตรฐานเยอรมัน คือ S37 เมื่อจากมีปริมาณธาตุคาร์บอนผสมอยู่
น้อย ทำให้มีความแข็งแรงต่ำ ไม่สามารถนำไปทำการหุบแข็งได้ เหมาะสมสำหรับนำไปใช้ในงานที่ไม่
ต้องการความแข็งแรงมากนัก เช่นนำไปรีดเป็นแผ่น ทำลังบรรจุของเหลว นำไปทำเป็นเหล็กเส้นใช้
ในงานก่อสร้าง

สมบัติต่างๆของเหล็ก AISI 1010

AISI TYPE	:	1010
Tensile strength	:	47000 – 53000 psi
Yield strength	:	26000 – 44000 psi
% Elongation	:	20 – 28
Hardness, Brinell	:	95 - 105

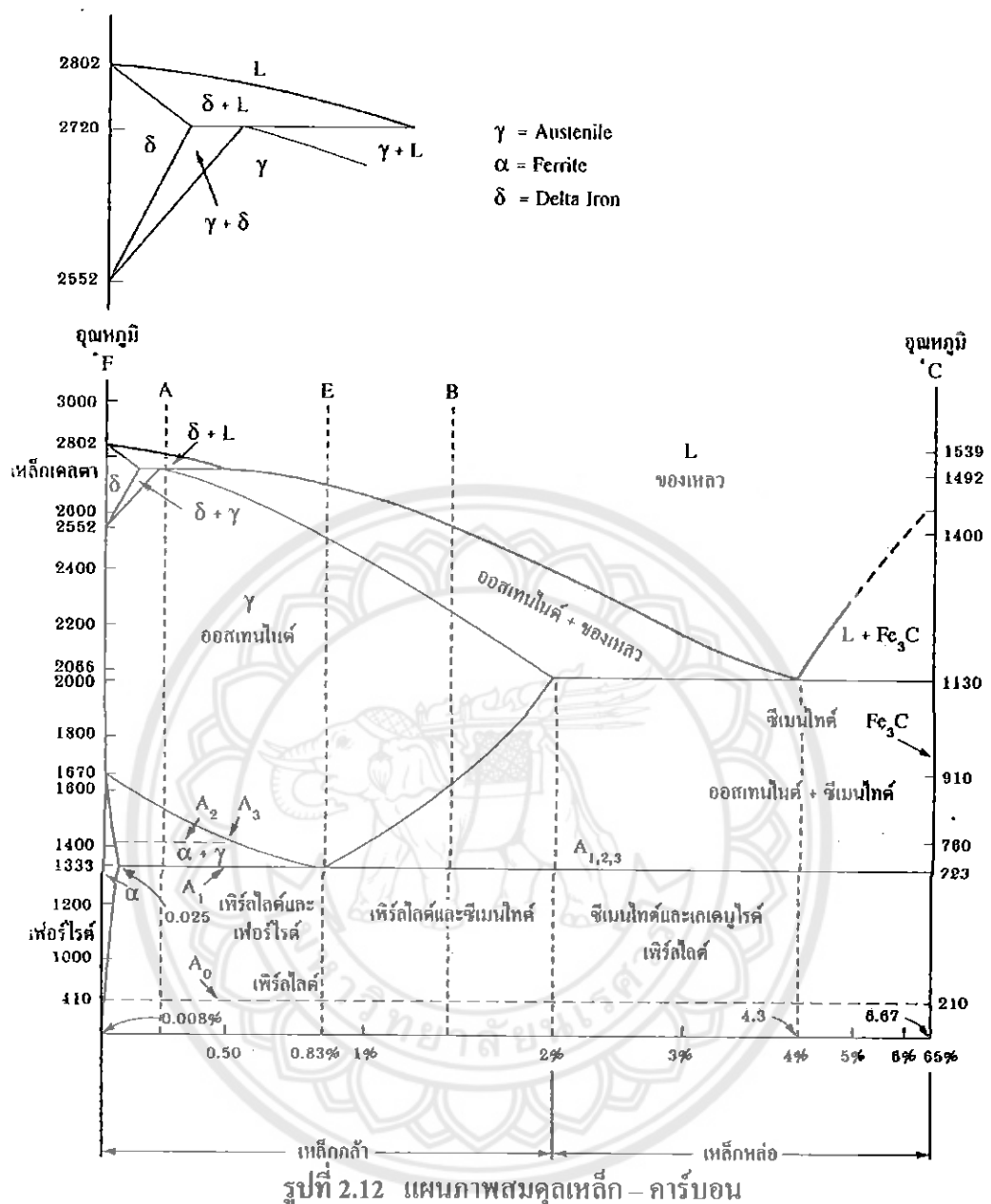
ส่วนประกอบของเหล็ก

C : 0.08 – 0.13 %

Mn : 0.30 - 0.60 %

Pmax : 0.04 %

Smax : 0.05 %



รูปที่ 2.12 แผนภาพสมดุลเหล็ก – คาร์บอน

ที่มา: มนส สติรจินดา.วิศวกรรมการอบชุบเหล็ก,วิศวกรรมสถานแห่งประเทศไทยกรุงเทพ,2533

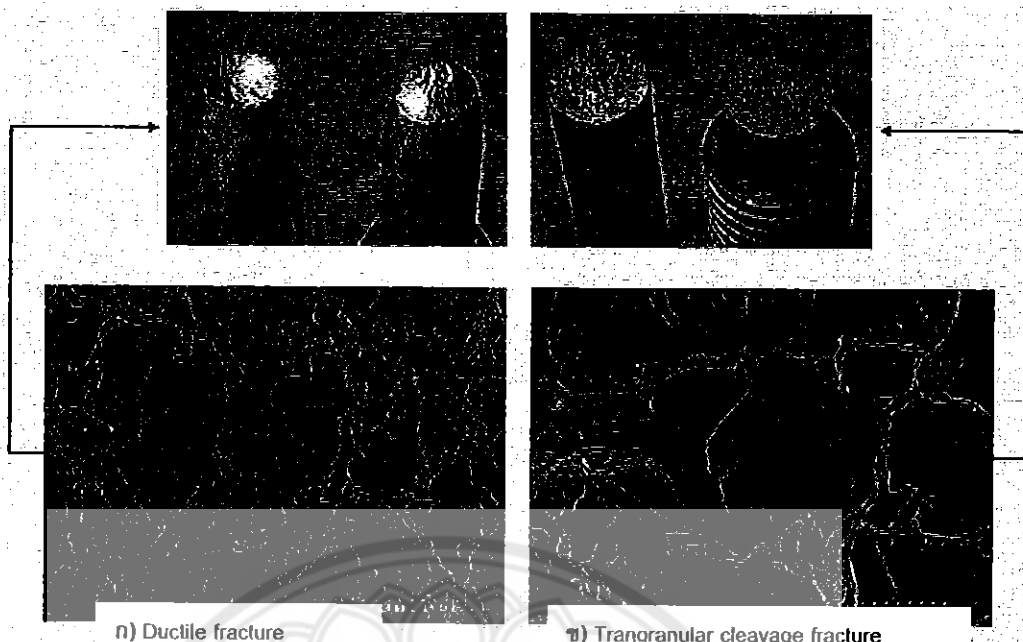
2.5 ประเภทของการแตกหักในโลหะ (Types of fracture in metals)

ประเภทของความเสียหายหรือการแตกหักที่เกิดขึ้นในเนื้อโลหะสามารถแบ่งออกเป็น 2 กลุ่ม ใหญ่ๆ คือ การแตกหักแบบเปราะ (Brittle fracture) และการแตกหักแบบเหนียว (Ductile fracture) โดยการแตกหักแบบเปราะนั้นจะได้รับความสนใจมากเนื่องจาก การแตกหักดังกล่าวจะทำให้เกิด การเปลี่ยนรูปด้วยการเดformation) ที่น้อยมาก จึงทำให้ชิ้นงานเกิดการแตกหักอย่างรวดเร็ว และมีผลกระทบอย่างรุนแรงและทำให้ป้องกันหรือหลีกเลี่ยงได้ยาก ดังนั้นการศึกษาเรื่องการ แตกหักแบบเหนียวจึงได้รับความสนใจอยกว่าการแตกหักแบบเปราะ อย่างไรก็ตามเราควรทำความเข้าใจถึงลักษณะสาเหตุการแตกหักและปัจจัยที่มีผลเกี่ยวข้องกับการแตกหักแต่ละรูปแบบ เพื่อใช้เป็นแนวทางในการป้องกันความเสียหายที่เกิดขึ้น และสามารถนำมามีประโยชน์ในการพิจารณา เลือกใช้วัสดุให้เหมาะสมกับประเภทการใช้งานประเภทของการแตกหักแบ่งได้ดังนี้

2.5.1 การแตกหักแบบผ่ากรน (Transgranular fracture) สามารถแบ่งออกเป็น

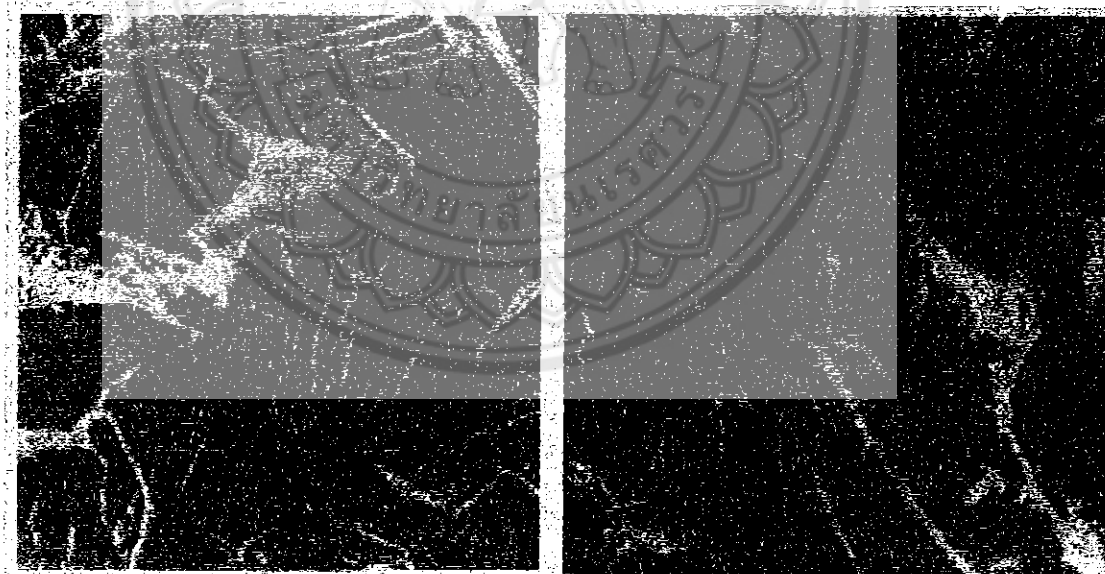
2.5.1.1 การแตกหักแบบเปราะ (Brittle cleavage fracture)

การแตกแบบเปราะเป็นการแตกแบบผ่ากรน (Transgranular cleavage fracture) ชนิดหนึ่งโดยทั่วไปจะแสดงพื้นผิวของการแตกหักที่ค่อนข้างเรียบสั่งผลให้มีพื้นที่ผิวการแตกหัก น้อย ทำให้ใช้พลังงานการแตกหักต่ำ พลังงานที่ว่ากันคือพลังงานพื้นผิว ซึ่งเป็นพลังงานที่ใช้สร้าง พื้นที่ผิวใหม่ 2 พื้นที่ผิว หากเราตรวจสอบพื้นผิวการแตกหักแบบเปราะคือกล้องจุลทรรศน์ อิเล็กตรอนแบบส่องคราด (Scanning electron microscope; SEM) ที่กำลังขยายสูงจะพบว่า มี ลักษณะเป็นกลุ่มของโครงสร้างที่เรียกว่า แฟกเซท ซึ่งเกิดจากการที่รอยแตกเดินทางผ่ากรนของ โลหะ โดยขนาดของแต่ละแฟกเซท นั้นจะมีขนาดโดยประมาณเท่ากับเกรนของโลหะนั้น การ แตกแบบผ่ากรนนี้มีความคล้ายคลึงกับผิวรอยแตกของหินหรือแก้วซึ่งจะมีลักษณะผิวที่ค่อนข้าง เรียบ โดยทั่วไปแล้วการแตกแบบผ่ากรนจะเกิดการแตกไปตามระนาบของโครงสร้างผลึก (Crystallographic plane) ซึ่งมีพลังงานระหว่างระนาบโครงสร้างผลึกที่ต่ำ จึงทำให้เกิดการแยก หรือแตกออกได้ง่าย ในบางกรณีพื้นผิวการแตกหักไม่ได้เป็นแบบผ่ากรนทั้งหมด โดยอาจจะมี บางบริเวณที่เกิดพื้นผิวแตกหักแบบเหนียว ซึ่งสามารถสังเกตได้จากบริเวณที่มีหลุมเล็กๆ (Ductile dimple) โดยเราจะมองเห็นเป็นรูปหลุมหรือถ้วยเล็กๆ ปรากฏอยู่เมื่อส่องดูด้วยกล้องกำลังขยายสูง ในกรณีนี้เรารู้ว่า การแตกหักแบบกึ่งแยก (Quasi-cleavage fracture)



รูปที่ 2.13 ก) การแตกหักแบบเหนียว (Ductile fracture) และ ข) การแตกหักแบบผ่าเกรน (Trangranular cleavage fracture)

ที่มา: http://www.sut.ac.th/engineering/metal/pdf/MechmetLab/Th/08_Fractography_th.pdf.



ก) Cleavage facets of ferrite ข) Quasi cleavage facets of tempered martensite

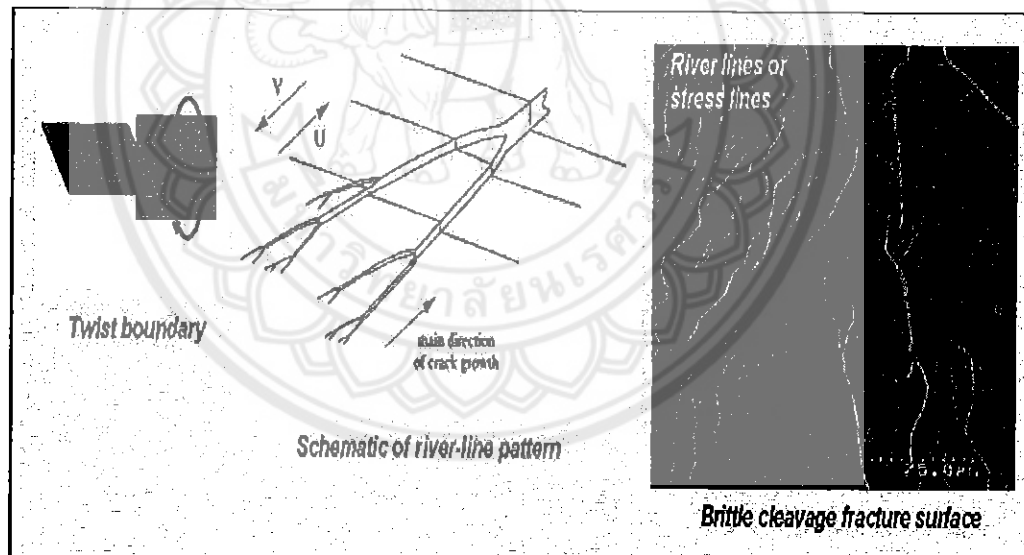
รูปที่ 2.14 แสดงพื้นผิวการแตกหัก ก) แบบเส้นมีอนของเฟอร์ไรต์ในเหล็กกล้า

คาร์บอนคั่ว และ ข) แบบกึ่งเส้นมีอนของเหล็กกล้าไรสันิที่มีโครงสร้าง
แบบเกลนเปอร์นาร์เทนไซต์

ที่มา: http://www.sut.ac.th/engineering/metal/pdf/MechmetLab/Th/08_Fractography_th.pdf

การเกิดแบบสายน้ำ (River line pattern) นั้นโดยทั่วไปแล้วระนาบของอะตอมของวัสดุอาจมีการเรียงตัวที่เยื่องกันเล็กน้อย เมื่อรอยแยกเกิดการเดินทางขึ้นมาในบริเวณระนาบอะตอมดังกล่าว รอยแยกจะเลือกเดินทางในระนาบที่ใช้พลังงานที่น้อยที่สุด ดังนั้นระนาบเส้นผ่านศูนย์กลาง (Cleavage) ทั้งสองที่มีพลังงานพื้นผิวต่ำจึงถูกทำให้แยกออก แต่เนื่องจากกระบวนการเส้นผ่านศูนย์กลาง (Cleavage) ดังกล่าวอาจมีเยื่องกันเล็กน้อยจึงทำให้เกิดเป็นขั้นบันได (Steps) ตรงบริเวณรอยต่อของระนาบเส้นผ่านศูนย์กลาง (Cleavage) เป็นผลทำให้เกิดเป็นแบบสายน้ำ (River line pattern) ดังแสดงในรูปที่ 2.16

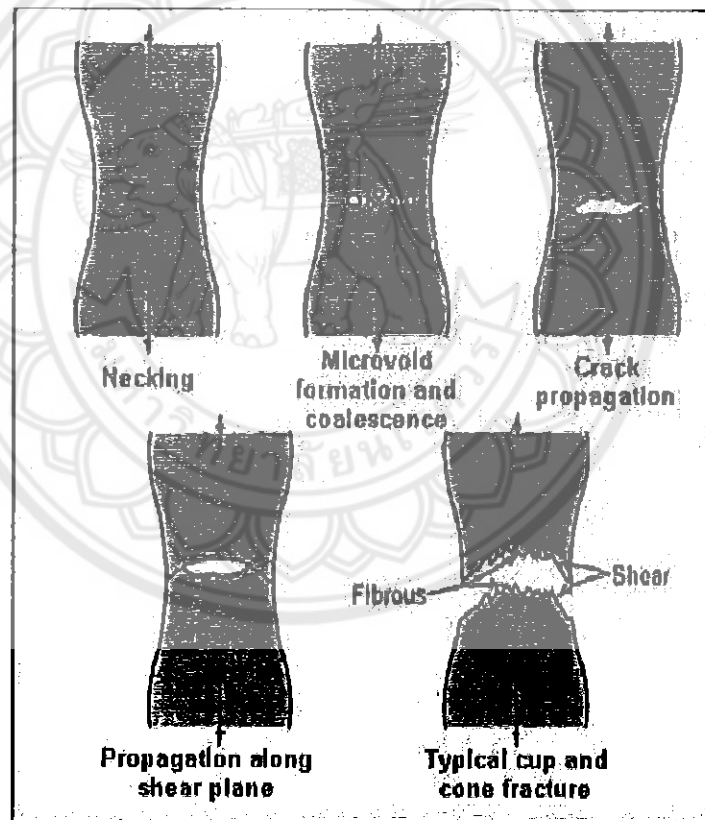
การแตกหักแบบประหหรือแบบผ่าเกรนนั้นมักมีสาเหตุมาจากการสะสมของความเกิน (Stress concentration) ตรงบริเวณที่มีข้อบกพร่อง (Defects) หากเราต้องการให้วัสดุมีความด้านทานต่อการแตกหักมากขึ้น เราควรจะทำให้วัสดุมีข้อบกพร่องที่น้อยที่สุดเพื่อเป็นการลดภัยที่จะสะสมความเกิน ซึ่งอาจทำได้โดยการควบคุมกระบวนการผลิตชิ้นงานโดยเริ่มตั้งแต่การผลิตชิ้นงานด้วยวิธีการหล่อ การขึ้นรูปด้วยวิธีการทางกลอื่นๆ การตกแต่ง เชื่อมหรือประกอบชิ้นงานขั้นสุดท้าย



รูปที่ 2.15 การเกิด River line pattern ที่พบในพื้นผิวการแตกหักแบบประห
ที่มา: http://www.sut.ac.th/engineering/metal/pdf/MechmetLab/Th/08_Fractography_Th.pdf

2.5.1.2 การแตกหักแบบเหนียว (Ductile fracture)

เมื่อพิจารณาชิ้นงานที่ผ่านการทดสอบแรงดึง และมีพฤติกรรมการแตกหักแบบเหนียวจะเห็นว่าเมื่อชิ้นงานถูกดึงผ่านจุดความด้านทานแรงดึงสูงสุด (Ultimate tensile strength) แล้วจะเกิดการคัดลอกของชิ้นงานที่เรียกว่า เนกเกิล ภายใต้แรงดึงกล่าวจะเกิดการฟอร์มตัวของช่องว่างเล็กๆซึ่งจะรวมตัวกันเกิดเป็นรอยแตกที่ใหญ่ขึ้น รอยแตกนี้จะมีทิศทางที่ตั้งฉากกับแรงที่นากระทำ และเมื่อรอยแตกขยายตัวจนถึงขอบของชิ้นงานจะเกิดการฟอร์มตัวของระนาบแรงเฉือน (Shear plane) ซึ่งมีระนาบทำมุมประมาณ 45 องศา โดยประมาณกับทิศทางของแรงที่มากระทำระนาบแรงเฉือนดังกล่าวเนื่องจากน้ำหนักของชิ้นงานจะเป็นสาเหตุของการแตกหักของชิ้นงานในที่สุด ดังนั้น พื้นผิวการแตกหักของชิ้นงานจะแสดงรูปแบบของถ้วยและกรวย (Cup and cone) ดังรูป 2.17



รูปที่ 2.16 การแตกหักแบบ Cup and cone

ที่มา: http://www.sut.ac.th/engineering/metal/pdf/MechmetLab/Th/08_Fractography_th.pdf

เนื่องจากวัสดุที่มีความเหนียวจะเกิดการเปลี่ยนรูปอ่องคาว (Plastic deformation) ที่ค่อนข้างมาก ระหว่างการแตกหักผิวอย่างแตกที่รุนแรงจะมีปริมาณพื้นที่ผิวที่มากกว่าผิวอย่างแตกที่เรียบ ดังนั้นการแตกหักแบบเหนียวจึงต้องใช้พลังงานในการแตกหักหรือพลังงานที่ทำให้เกิดพื้นที่ผิวใหม่ 2 พื้นที่ผิวมาก กว่าการแตกหักแบบกระชั่งมีพื้นที่ผิวน้อยกว่า

เมื่อพิจารณาพื้นผิวการแตกหักในวัสดุที่มีความเหนียวสูงโดยใช้กล้องกำลังขยายสูง จะพบว่าพื้นผิวแตกหักประกอบด้วยช่องว่างหรือหลุมเล็กๆ จำนวนมากที่เรียกว่า Ductile dimple หรือ ในโครงข่าย กลไกการเกิดในโครงข่ายคันน์เร็นต้นจากการสูญเสียแรงซึ่ดเหนียวระหว่างโลหะพื้น (Matrix) กับ (Inclusion) หรือ (second phase particle) หรือ เรียกว่าการเกิดดีโคชชั่น และแรงภายนอกที่มีกระทำจะทำให้เกิดเป็นช่องว่างเล็กๆ หรือในโครงข่าย นี้มีขนาดใหญ่ขึ้น โดยจะมีสีสันเจือปน (Second phase particle) อยู่ตรงกลาง เมื่อวัสดุได้รับแรงอ่องค่าว่าในโครงข่ายคันน์เร็นต้นจะมีขนาดใหญ่มากขึ้นมาบรรจบกันที่บริเวณของเรียกว่าการเกิด Microvoid coalescence เป็นผลทำให้รอยแตกของขยานาดใหญ่ขึ้นภายในโครงสร้างจนทำให้เกิดการแตกหักในที่สุด พื้นผิวการแตกหักแบบเหนียวจะมีขนาดใหญ่ในวัสดุที่มีความเหนียวมาก

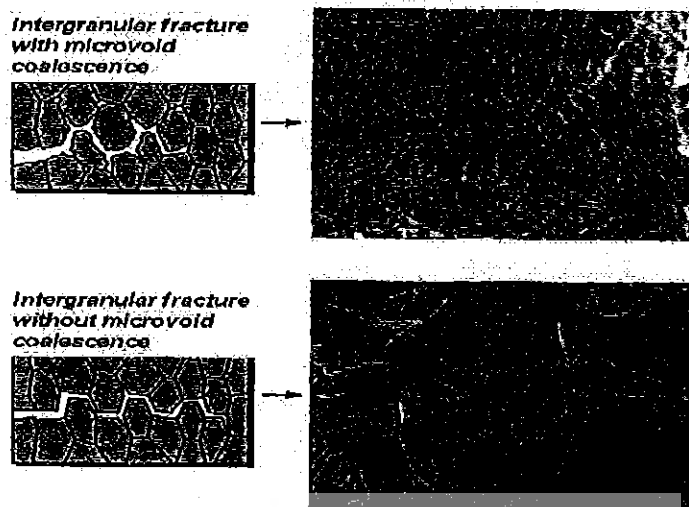
ลักษณะรูปทรงของในโครงข่ายคันน์เร็นต้นที่ตรวจสอบได้จากภาพถ่ายจาก SEM สามารถบอกถึงลักษณะแรงที่มีกระทำกับชิ้นงานได้ด้วย หากรูปทรงของในโครงข่ายคันน์เร็นต้นที่เกิดขึ้นบนผิวการแตกหักทั้งสองค้านมีลักษณะเป็นหลุมกลมหรือ อิคริแอคซ์เชป แสดงว่าแรงที่มีกระทำนั้นเป็นแรงดึงที่กระทำด้วยน้ำหนักกับชิ้นงาน

2.5.2 การแตกตามขอบเกรน (Intergranular fracture)

การแตกตามขอบเกรนนั้นมักจะพบในชิ้นงานที่อยู่ในสภาพเสียงต่อการกัดกร่อน การใช้งานที่อุณหภูมิสูง หรือทำให้เกิดการตกหลักของเฟสที่สองบริเวณขอบเกรน การแตกหักตามขอบเกรนซึ่งสามารถแบ่งออกเป็น 2 ประเภทคือ

- 1) การแตกหักตามขอบเกรนที่มีในโครงข่ายคันน์เร็นต้นที่ปราศจากอุบัติเหตุ
- 2) การแตกหักตามขอบเกรนที่ไม่มีในโครงข่ายคันน์เร็นต้นที่ปราศจากอุบัติเหตุ

แม้ว่าพื้นผิวการแตกหักที่เกิดขึ้นจะปราศจากลักษณะของในโครงข่ายคันน์เร็นตัวที่พื้นผิว แต่พลังงานที่ใช้ในการแตกหักนั้นจะไม่สูงมากเท่าการแตกหักแบบเหนียว เนื่องจากในโครงข่ายคันน์เร็นต้นที่ค่อนข้างน้อย โดยเฉพาะในกรณีที่อนุภาคเหล่านี้เรียงตัวต่อเนื่องกันเป็นตาก่าย ก็จะยิ่งทำให้สูญเสียแรงซึ่ดเหนียวระหว่างขอบเกรนได้ง่าย ทำให้พลังงานระหว่างระหว่างพื้นผิวลดลงอย่างมาก ระยะแตกจะเดินทางได้จำกัด



รูปที่ 2.17 พื้นผิวการแตกหักตามขอบเกรน (ก) แบบเก่าตัวของในโครงออยด์ และ (ข) แบบใหม่เก่าตัวของในโครงออยด์

ที่มา: http://www.sut.ac.th/engineering/metal/pdf/MechmetLab/Th/08_Fractography_th.pdf

นอกจากนี้แล้ว อุณหภูมิก็เป็นปัจจัยที่สำคัญอย่างหนึ่งซึ่งมีผลทำให้เกิด การแตกตามขอบเกรนได้ง่ายขึ้น อุณหภูมิที่สูงขึ้นนั่นก็จะมีผลทำให้วัสดุเกิด การเปลี่ยนรูปอย่างถาวร (Plastic deformation) ได้ง่ายขึ้นแล้ว ซึ่งมีผลทำให้เกิดการเปลี่ยนแปลงทางโลหะวิทยาได้อีกด้วย โดยหากเฟสที่เกิดขึ้นใหม่นั้นมีแรงขัดเหนี่ยว กันโลกะพื้นด้วย ก็จะทำให้มีอิทธิพลต่อการรับแรงกระทำภายนอกและมีผลต่อลักษณะการแตกหักของชิ้นงานในที่สุด และเนื่องจากบรรยาศการแตกหักที่อุณหภูมิสูงนั้นมักมีอุกซิเจนรวมอยู่ด้วย ซึ่งทำให้เกิดปฏิกิริยา อุกซิเดชั่น ได้ง่ายหรือในบางกรณีเกิดการเผาไหม้ (Combustion) ได้ง่ายขึ้นอีกด้วย เช่น ในกรณีการใช้งานในพัดใบเครื่องบินต้องทนต่อเครื่องบิน (Turbine blade) การเกิดปฏิกิริยาอุกซิเดชั่นดังกล่าวจะทำให้เกิด Oxide scale ที่มีความประจำและส่วนใหญ่จะก่อตัวอย่างไม่สม่ำเสมอบนบริเวณผิวของชิ้นงาน เป็นผลทำให้เกิดเป็นจุดที่สะสมความเเก่น (Stress concentration) และเป็นต้นกำเนิดของรอยแตกในที่สุด และหากมีรอยแตกเกิดขึ้นในขณะที่วัสดุหรือชิ้นงานบังไดรับแรงกระทำอยู่ พื้นผิวของรอยแตกที่จะเกิดปฏิกิริยาอุกซิเดชั่นนี้อีกทำให้วัสดุเกิดความอ่อนแօอย่างรวดเร็ว โดยอาจทำให้เกิดอุกซิเดชั่นก่อตัวอย่างค่อนข้างเร็วภายในบริเวณของเกรนหรือภายในเกรน วัสดุจึงมีความประจำขึ้นและมีความยืดหยุ่นลดลงหรือเรียกว่าการแตกประจำ (Embrittlement) และหากอุกซิเดชั่นก่อตัวที่บริเวณของเกรน จะยิ่งทำให้พังงานยืดเห็นได้ว่า แม้ว่าการแตกหักที่อุณหภูมิสูงนี้แนวโน้มที่จะทำให้เกิดการแตกหักแบบเหนียว (Transgranular ductile fracture) เมื่อจากเกิด การเปลี่ยนรูปอย่างถาวรได้ง่ายแต่การเปลี่ยนแปลงทางโลหะวิทยาหรือการเกิดการแตกประจำ (Embrittlement) ที่ขอบเกรนดังที่ได้กล่าวมาแล้วผลทำให้

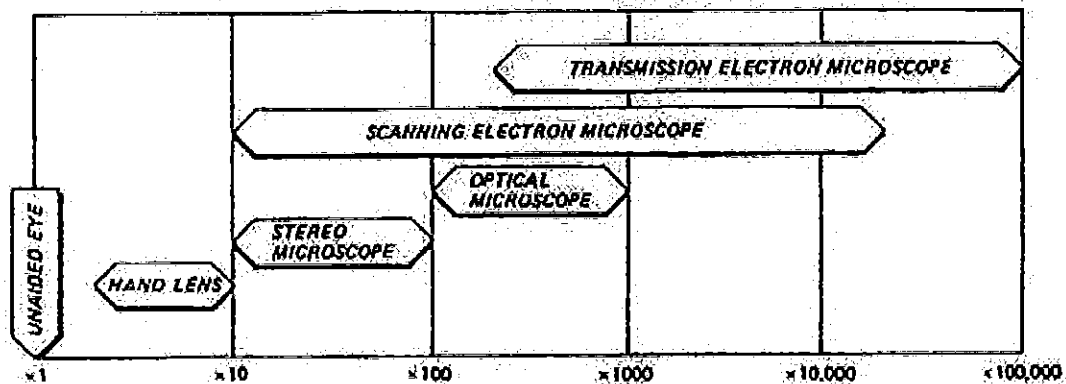
ผลลัพธ์ที่ขบวนเกรนลดลงอย่างมาก จึงทำให้ค่าความต้านทานแรงดึงและความหนึ่งของเกรนลดลงอย่างมาก เช่นเดียวกัน ดังนั้นการใช้งานของวัสดุหรือชิ้นงานที่ต้องอยู่ในภาวะที่มีอุณหภูมิการใช้งานสูงและเกิดออกซิเดชันได้ง่ายก็จะส่งผลกระทบแรงต่อสมรรถนะเชิงกลของชิ้นงาน การเลือกวัสดุเพื่อการใช้งานที่ถูกต้องจึงมีความจำเป็นอย่างยิ่ง เช่น นิกเกลอัลลอย เหล็กสำหรับการใช้งานที่อุณหภูมิสูงและมีบรรยายกาศที่เกิดออกซิเดชัน เป็นต้น นอกจากนี้แล้ว การใช้งานของโลหะที่ต้องอยู่ในสภาพการกัดกร่อนสูงก็มีโอกาสเกิดการแตกหักตามขอบเกรนได้เช่นเดียวกัน หากเกิดการหักกร่อนที่บริเวณขอบเกรน [6]

2.6 เทคนิคการตรวจสอบพื้นผิวการแตกหัก (Fractography technique)

กระบวนการตรวจสอบพื้นผิวการแตกหักในวัสดุทำจากโลหะนั้น นิยมใช้กล้องกำลังขยายขนาดต่างๆ สำหรับการตรวจสอบชิ้นงาน โดยเริ่มต้นนั้นเราต้องเก็บรักษาชิ้นงานที่ต้องการตรวจสอบไม่ให้เกิดสนิมหรือเกิดออกไซด์ที่ผิว อีกทั้งจะต้องไม่ให้ผิวชิ้นงานที่แตกหักเกิดการกระแทกกระแทกกัน เพราะจะทำให้ข้อมูลที่ตรวจสอบได้ผิดพลาดจากความเป็นจริง เราควรทำความสะอาดชิ้นงานด้วยอุปกรณ์ทำความสะอาดด้วยคลื่น超音波 (Ultrasonic cleaning) จากนั้นล้างด้วยอะซีโนน แล้วนำไปให้แห้งเพื่อทำการตรวจสอบในขั้นต่างๆต่อไป โดยเฉพาะอย่างยิ่งเมื่อต้องตรวจสอบด้วยกล้องจุลทรรศน์อิเล็กตรอนแบบส่องกล้อง (Scanning electron microscope : SEM)

เครื่องมือที่ใช้ในการตรวจสอบพื้นผิวการแตกหักนั้น มีความละเอียดแตกต่างกันตามกำลังขยายที่ใช้ดังแสดงในรูปที่ 2.19 การตรวจสอบพื้นผิวการแตกหักที่ท้ายหรือมีขนาดใหญ่จะสามารถมองเห็นได้ด้วยตาเปล่า หรือเราอาจใช้แว่นขยายหรือกล้องสเทอริโอเพื่อช่วยในการตรวจสอบในขั้นต้นได้ ส่วนการตรวจสอบในระดับจุลภาคนิยมใช้กล้องจุลทรรศน์แบบใช้แสง (Optical microscope: OM) เพื่อใช้ตรวจสอบโครงสร้างทางจุลภาคและกล้องจุลทรรศน์อิเล็กตรอนแบบส่องกล้อง (Scanning electron microscope: SEM) ที่มีกำลังขยายสูงเพื่อตรวจสอบสภาพพื้นผิวการแตกหักโดยสามารถตรวจสอบประเภทของการแตกหักจากลักษณะรอยแตกในระดับจุลภาค ซึ่งจะสามารถเชื่อมโยงกับโครงสร้างทางจุลภาคของชิ้นงานนั้นๆ และหากต้องการความละเอียดในการวิเคราะห์มากขึ้น เช่น การเรียงตัวของโครงสร้างผลึก ขนาดความยาวของโครงสร้างผลึก

การใช้กล้องอิเล็กตรอนแบบส่องผ่าน (Transmission electron microscope: TEM) จะสามารถให้ข้อมูลที่ละเอียดได้ แต่จะมีความยุ่งยากในการเตรียมชิ้นงานและในขั้นตอนการตรวจสอบพอสมควร [6]



รูปที่ 2.18 การใช้เครื่องมือในการตรวจสอบพื้นผิวการแตกหักในช่วงกำลังขยายต่างๆ

ที่มา: http://www.sut.ac.th/engineering/metal/pdf/MechmetLab/Th/08_Fractography_th.pdf

2.7 การทดสอบความแข็ง (Hardness test)

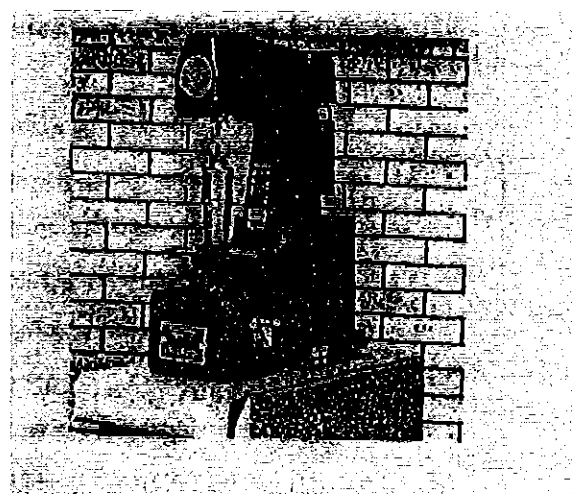
เป็นการวัดความต้านทานของโลหะที่จะต้องเปลี่ยนรูปร่างอย่างถาวร (Plastic deformation) การทดสอบความแข็งของวัสดุนั้นใช้วิธีกดวัสดุที่มีลักษณะแข็งกว่า เช่น เหล็กแข็ง หั้งสเตนคาไบค์ เพชร เป็นต้น โดยทำเป็นรูปต่างๆกัน เช่น ทำเป็นรูปกลม พีระมิด โคน หรือรูป เมื่อกดตัวกด (Indenter) ลงไปในวัสดุที่ทดสอบเป็นนูน 90 องศา ลงไปอย่างช้าๆแล้ววัดรอบหัวกดที่เกิดขึ้น โดยการเลือกหัวกดนั้นจะขึ้นอยู่กับรูปร่างหัวกดและน้ำหนักที่ใช้ ความแข็งของโลหะจะมีค่าเท่าไรขึ้นอยู่ กับความยากง่ายของการเปลี่ยนรูปร่างอย่างถาวรของวัสดุนั้น [7]

การวัด硬度 เป็นการทดสอบที่ง่ายและผู้ทดสอบไม่ต้องมีความชำนาญมากนัก เพราะ เครื่องที่ใช้ทดสอบความแข็งจะช่วยให้มากและสะดวก ได้อย่างรวดเร็ว

การตรวจสอบความแข็งนี้หลาบวิธี เช่น

1. การทดสอบความแข็งแบบบรินอล (Brinell hardness test)
2. การทดสอบความแข็งแบบร็อกเวล (Rockwell hardness test)
3. การทดสอบความแข็งแบบวิคเกอร์ (Vicker hardness test)
4. การทดสอบความแข็งแบบ肖氏 (Shore hardness test)

แต่ในที่นี้จะกล่าวโดยละเอียดเฉพาะการทดสอบแบบร็อกเวล (Rockwell hardness test)



รูปที่ 2.19 เครื่องทดสอบความแข็งแบบร็อกเวล

ที่มา: ชาลิต เทียงกุล . (2547). โลหะวิทยา. กรุงเทพ: สมาคมส่งเสริมเทคโนโลยี(ไทย-ญี่ปุ่น)

การทดสอบแบบร็อกเวลนี้วัดได้จากความลึกที่ปรากฏบนผิวทดสอบ อันเกิดจากการกดของหัวกด (Indentor) มาตรฐาน และวัดความแข็งของชิ้นงานได้ทางสเกล เช่น สเกล A, B, C, D, E, F, G, H, K และ L เป็นต้น แต่มีการวัดบางสเกลเท่านั้นที่นิยมใช้ ซึ่งสเกลเหล่านั้น คือ สเกล C และสเกล B

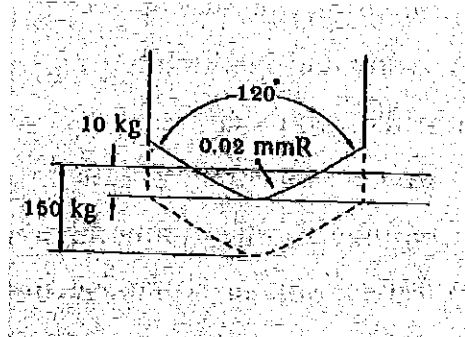
1) การทดสอบความแข็งแบบร็อกเวล C (HRC) ใช้วัดความแข็งของเหล็กล้าที่ผ่านการชุบแข็ง โดยการใช้หัวกดรูปทรงกรวยทำด้วยเพชรมีนูนยอดเท่ากับ 120 องศาเซลเซียส

2) การทดสอบความแข็งแบบร็อกเวล B (HRB) ใช้วัดความแข็งของเหล็กล้าทั่วไปโดยใช้หัวกดแบบลูกบล็อกที่มีขนาดเส้นผ่านศูนย์กลาง $1/16$, $1/8$, $1/4$ และ $1/2$ นิ้ว

สำหรับแรงกดที่ใช้ในการกดหัวนั้นจะประกอบด้วยแรง 2 แรงคือ แรงคนน้ำ (Minor Load) และแรงกดตาม (Major load)

แรงคนน้ำ หมายถึง แรงที่ใช้กดให้หัวกดสัมผัสผิวทดสอบ แรงคนน้ำนี้จะมีขนาดไม่มากนักโดยจะมีขนาดผิวเพียง 10 กิโลกรัม เท่านั้น

แต่สำหรับแรงกดตามนั้นหมายถึง แรงที่ใช้ในการกดหัวกดเพื่อให้เกิดรอยคนผิวทดสอบจะมีขนาดเท่ากับ 140 กิโลกรัม ขนาดของแรงกดนี้จะขึ้นอยู่กับชนิดของโลหะที่จะทำการทดสอบ



รูปที่ 2.20 ขนาดของแรงกดที่กระทำต่อผิวทดสอบ

ที่มา: ชาลิต เรียงกุล . (2547). โลหะวิทยา. กรุงเทพ: สมาคมส่งเสริมเทคโนโลยี(ไทย-ญี่ปุ่น)

ขั้นตอนการทดสอบความแข็งแบบรีอคเวล การทดสอบความแข็งวิธีนี้เป็นขั้นตอนการปฏิบัติที่ไม่ซับซ้อนสามารถทำความเข้าใจได้โดยง่าย ดังนี้

1) วางชิ้นงานลงบนแป้นทดสอบกัดหัวสูกับลงบนผิวทดสอบด้วยแรงกดน้ำ 10 กิโลกรัม จากนั้นตั้งนาฬิกาที่เครื่องໄไปที่เลขศูนย์

2) ตั้งแรงกดตามชนิดของโลหะที่ทำการทดสอบ โดยการดูจากตารางแรงกดแล้วลบด้วยแรงกดน้ำ ชิ้นแรงกดเพิ่มนี้จะทำให้หัวสูกับลงบนชิ้นงานทดสอบ

3) นำแรงกดเพิ่มออกทำให้เหลือแรงกดน้ำแต่เพียงอย่างเดียว หลังจากนั้นเข็มนาฬิกาจะถอยกลับและหยุด เราจึงอ่านค่าความแข็งที่ตำแหน่งเข็มนาฬิกานั้นหยุดอยู่ ซึ่งอ่านได้อ่านค่าดังนี้ เช่น 40 HRC หมายถึงความแข็งแบบรีอคเวล 40 ด้วยสเกล C และ 85 HRB หมายถึง ความแข็งแบบรีอคเวล 85 ด้วย สเกล B

การทดสอบความแข็งวิธีนี้หลักการทดสอบที่ต้องคำนึงถึงค้างค้อไปนี้

1) ควรตรวจสอบความถูกต้องของเครื่องด้วยแท่งทดสอบ (Test block) ทุกครั้งก่อนการทำงาน

2) ชิ้นงานที่ทำการทดสอบควรมีความสะอาดและขนาดกันสอดคล้อง

3) รองคดบนผิวทดสอบควรห่างกันอย่างน้อย 3 มิลลิเมตร

4) ควรวัดค่าความแข็งอย่างน้อย 3 จุด แล้วนำค่าที่ได้ไปหาค่าเฉลี่ย จะได้เป็นค่าความแข็งที่ถูกต้อง

5) ค่าความแข็งที่อ่านได้บนสเกลเป็นค่าที่นำไปใช้ได้เลยซึ่งมีความรวดเร็วในการทดสอบ

6) ชิ้นงานที่ทำการทดสอบควรมีความหนาไม่น้อยกว่า 10 เท่าของรองคดบนผิวทดสอบ

ตารางที่ 2.4 การเลือกใช้แรงกดที่เหมาะสมกับหัวกัดและโลหะที่ต้องการทดสอบ

สเกล	แรงกดตาม	ชนิดของหัวกัด	ชนิดของวัสดุที่ต้องการทดสอบ
A	60	หัวเพชร	โลหะcarbideค่าคงที่ และวัสดุที่มีความแข็งสูง
B	100	1/16"ลูกบอต	เหล็กกล้าคาร์บอน, ทองเหลือง และวัสดุที่ความแข็งปานกลาง
C	100	หัวเพชร	เหล็กที่ผ่านการชุบแข็ง และโลหะผสมที่ผ่านการชุบแข็ง
D	100	หัวเพชร	เหล็กที่ผ่านการชุบแข็งคิว
E	100	1/8"ลูกบอต	เหล็กหล่อ, อะลูминเนียมผสมและแมกนีเซียมผสม
F	60	1/16"ลูกบอต	ทองเหลือกและทองแดงที่ผ่านการอบอ่อน
G	150	1/16"ลูกบอต	เบริตลีบมพสนทองแดง, บรรณาซ์
H	60	1/8"ลูกบอต	อะลูминเนียมแผ่น
K	150	1/8"ลูกบอต	เหล็กหล่อ, อะลูминเนียมผสม
L	60	1/4"ลูกบอต	ตะกั่ว, พลาสติก, วัสดุอ่อนอ่อนๆ
M	100	1/4"ลูกบอต	เหมือนกับสเกล L
P	150	1/4"ลูกบอต	เหมือนกับสเกล L
R	60	1/2"ลูกบอต	เหมือนกับสเกล L
S	100	1/2"ลูกบอต	เหมือนกับสเกล L
V	150	1/2"ลูกบอต	เหมือนกับสเกล L

ที่มา: ขาวลิต เศรษฐกุล . (2547). โลหะวิทยา. กรุงเทพ: สมาคมส่งเสริมเทคโนโลยี(ไทย-ญี่ปุ่น)

บทที่ 3

ขั้นตอนการดำเนินการวิจัย

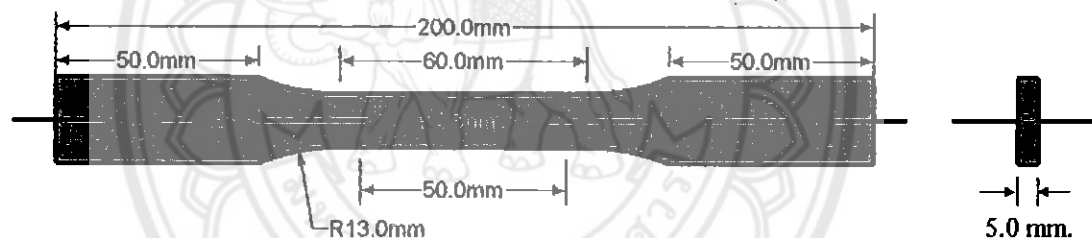
3.1 สำรวจงานวิจัยและทฤษฎีเกี่ยวข้อง

- 3.1.1 ทฤษฎีเกี่ยวกับโครงสร้างชุลภาค และการศึกษาโครงสร้างชุลภาค
- 3.1.2 ทฤษฎีเกี่ยวกับมาตรฐานการทดสอบแรงดึง
- 3.1.3 ทฤษฎีเกี่ยวกับการอบอ่อน

3.2 การเตรียมชิ้นงาน

ในการทดสอบจะใช้เหล็ก AISI 1010

- เตรียมชิ้นงานทดสอบโดยบัน្តรูปตามมาตรฐาน ASTM – A370 ดังรูปที่ 3.1
จำนวน 12 ชิ้น



รูปที่ 3.1 ตัวอย่างชิ้นงานทดสอบที่ใช้ทดสอบแรงดึง
ที่มา: มาตรฐาน ASTM - A370

3.3 การอบอ่อน

แบ่งชิ้นงานออกเป็น 2 กลุ่ม กลุ่มละ 6 ชิ้น

- กลุ่มที่ 1 ทำการอบอ่อนที่อุณหภูมิ 700 องศาเซลเซียส เป็นเวลา 30 นาที
- กลุ่มที่ 2 ทำการอบอ่อนที่อุณหภูมิ 700 องศาเซลเซียส เป็นเวลา 240 นาที

3.4 การตรวจสอบขนาดของเกรน (Grain size)

ตรวจสอบด้วยกล้องจุลทรรศน์แสง

3.4.1 เตรียมชิ้นงานโดยการนำชิ้นงานกลุ่มที่ 1 และกลุ่มที่ 2 กลุ่มละ 1 ชิ้น ตัดด้วยเลื่อยตัดเหล็กให้มีขนาด 1×1 เซนติเมตร

3.4.2 นำชิ้นงานทั้ง 2 กลุ่ม ที่ตัดแล้วมาหล่อเรซิ่น

3.4.3 ขัดให้ผิวของชิ้นงานมีความเรียบ เป็นมันโดยใช้กระดาษทรายเบอร์ 320, 600, 800, 1000 และ 1200 ตามลำดับ

3.4.4 นำชิ้นงานทดสอบนาบคดด้วยอะลูминานาค 1 ไมครอน

3.4.5 นำชิ้นงานมากัดกรคล้ำยสารละลายในตอต ความเข้มข้น 3% เป็นเวลา 10-15 วินาที จากนั้นล้างด้วยน้ำสะอาด และเป่าให้แห้งทันที

3.4.6 นำชิ้นงานทดสอบไปตรวจคุณภาพสร้างด้วยกล้องจุลทรรศน์แสง

3.4.7 ต่ำรูปและบันทึกข้อมูล

3.4.8 นำรูปถ่ายที่ได้ไปคำนวณหาขนาดเกรนเฉลี่ยโดยใช้วิธี Mean Linear Intercept

3.4.9 จากภาพถ่ายจะสามารถนำไปคำนวณหาขนาดเกรนของชิ้นงานที่ผ่านการอบอ่อนในสมบูรณ์ในแต่ละช่วงเวลา (30 นาที และ 240 นาที) ได้จากการที่ 2.2 และสมการที่ 2.3 ตามลำดับ

$$G = -10.00 - 6.60 \log L_3$$

$$L_3 = L_T / PM$$

เมื่อ L_T คือ ขนาดของเส้นรอบวงที่นำมาหาจุดตัดของเกรน

P คือ จำนวนจุดตัด

M คือ ก้าลังขยายของภาพ

L_3 คือ ค่าความยาวเฉลี่ยของจุดตัด

G คือ หมายเลขขนาดของเกรน

3.4.10 ทำวงกลมนรูปถ่ายขนาดเกรนที่ได้จากการทดลอง นับจุดตัดที่เส้นขอบวงกลมตัดกับขนาดเกรน วัดขนาดของเส้นรอบวงที่ใช้ในการนับขนาดเกรน

3.4.11 นำค่าต่างๆไปคำนวณเพื่อให้ได้ค่า G ซึ่งสามารถนำไปเทียบค่าได้จากการที่ 2.2 ตามมาตรฐาน ASTM Standard E112 เพื่อขนาดเกรนเฉลี่ย

3.5 การทดสอบคุณสมบัติเชิงกล

3.5.1 การทดสอบแรงดึง

นำชิ้นงานกลุ่มที่ 1 และกลุ่มที่ 2 กลุ่มละ 5 ชิ้น ทดสอบแรงดึงด้วยเครื่อง Universal testing machine ที่ความเร็ว 100 มิลลิเมตรต่อนาที ดังขั้นตอนต่อไปนี้

3.5.1.1 หาพื้นที่หน้าตัดของชิ้นงานทดสอบ

3.5.1.2 ทำเครื่องหมายชิ้นงานต่อจากตำแหน่งหัวจับเป็นระยะๆ 6 มิลลิเมตร จากจุดศูนย์กลางชิ้นงาน

3.5.1.3 เตรียมจับหัวจับให้อุ่นในเตาไฟฟ้า ประมาณ 10 นาที แล้วนำเครื่องมือวัดส่วนยึดให้แน่นทั้งสองด้าน พร้อมทั้งติดตั้งเครื่องมือทดสอบมือวัดส่วนยึด

3.5.1.4 เดินเครื่องออกแรงดึงจนกระแทกตัวถังจุดกรากให้น้ำเครื่องมือวัดส่วนยึดออกจากชิ้นงานตัวอย่าง (ที่จุดกรากจะมีเสียงเดือนที่เครื่องมือทดสอบ) และเดินเครื่องจนกระแทกชิ้นงานขาดออกจากกัน

3.5.1.5 นำชิ้นงานที่ขาดออกจากกันมาต่อให้แนบสนิท แล้ววัดระยะยึด โดยทำการวัดระยะความยาวพิกัดที่ทำเครื่องหมายไว้

3.5.2 การทดสอบความแข็ง

นำชิ้นงานกลุ่มที่ 1 และกลุ่มที่ 2 กลุ่มละ 1 ชิ้น ทดสอบความแข็งแบบรือแอลสเตเกล B ดังขั้นตอนต่อไปนี้

3.5.2.1 วางชิ้นงานลงบนแท่นรองรับชิ้นงานแล้วเคลื่อนชิ้นงานให้สัมผัสกับหัวกด

3.5.2.2 กำหนดหนักแรงกดที่หัวกดแล้วทำการกดนานประมาณ 10 วินาที

3.5.2.3 นำชิ้นงานออกจากหัวกด

3.5.2.4 นำชิ้นงานที่ผ่านการกดแล้วไปวัดรอบกด เมื่อได้ขนาดแล้วนำค่าที่ได้มาคำนวณ

3.5.2.5 การหาค่าความแข็งของชิ้นงานแต่ละชิ้นจะต้องทำการทดสอบความแข็งชิ้นละ 3 ครั้งแล้วหาค่าเฉลี่ย โดยทำการวัดค่าที่บันทึกไว้ชิ้นงาน

3.6 การตรวจด้วยกล้องจุลทรรศน์อิเล็กทรอนแบบส่องกราด

นำชิ้นงานกลุ่มที่ 1 และกลุ่มที่ 2 ที่ผ่านการทดสอบแรงดึงกลุ่มละ 1 ชิ้น มาทำการตรวจสอบลักษณะความเสียหายบริเวณรอยขาด

บทที่ 4

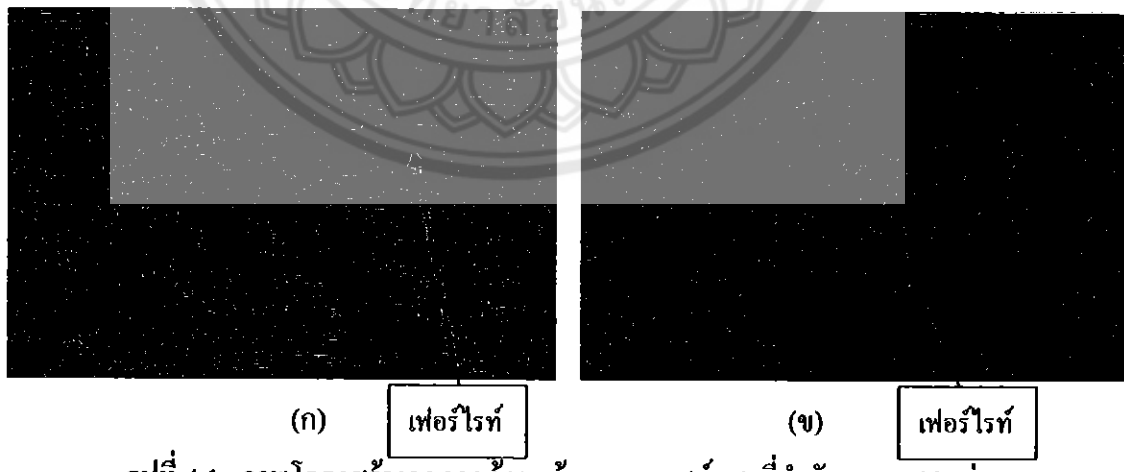
ผลการทดสอบ และการวิเคราะห์ผลการทดสอบ

เมื่อนำเหล็กกล้า AISI 1010 ทำการอบอ่อนที่อุณหภูมิ 700 องศาเซลเซียสเป็นเวลา 30 นาที สำหรับชิ้นงานกลุ่มที่ 1 จำนวน 6 ชิ้น และ 240 นาที สำหรับชิ้นงานกลุ่มที่ 2 จำนวน 6 ชิ้น จากนั้น ทำการตรวจสอบชิ้นงาน ซึ่งมีผลการตรวจสอบดังนี้

- 1) ผลการตรวจสอบขนาดของเกรน (Grain size) ด้วยกล้องจุลทรรศน์แสง
- 2) ผลการทดสอบความแข็ง
- 3) ผลการทดสอบแรงดึง
- 4) ผลการตรวจสอบค่าความเสียหายจากแรงดึงกล้องจุลทรรศน์อิเล็กตรอนแบบส่องกราด

4.1 ผลการตรวจสอบขนาดของเกรน (Grain size)

เมื่อทำการตรวจสอบเหล็กครั้งอบอ่อนค่าเกรด AISI 1010 ที่ผ่านกระบวนการอบอ่อน ที่อุณหภูมิ 700 องศาเซลเซียส ด้วยกล้องจุลทรรศน์แสงเพื่อทำการตรวจสอบขนาดเกรนที่ได้จากการอบอ่อน ที่ระยะเวลาต่างกัน ผลการตรวจสอบชิ้นงานที่ทำการอบอ่อนเป็นเวลา 30 นาที และ 240 นาที เป็นดังรูปที่ 4.1 (ก) และ รูปที่ 4.2 (ข) ตามลำดับ จากรูปจะเห็นว่าชิ้นงานทั้ง 2 มีโครงสร้างจุลภาคเป็นเฟอร์ไรท์และเพริลไรท์



รูปที่ 4.1 ภาพโครงสร้างจุลภาคคือกล้องจุลทรรศน์แสงที่กำลังขยาย 500 เท่า

- (ก) ชิ้นงานที่ผ่านการอบอ่อนเป็นเวลา 30 นาที และ
(ข) ชิ้นงานที่ผ่านการอบอ่อนเป็นเวลา 240 นาที

จากภาพถ่ายเร่งสามารถนำไปคำนวณขนาดเกรนของในแต่ละช่วงเวลา (30 นาที และ 240 นาที) ได้จากสมการที่ 2.2 และสมการที่ 2.3 ตามลำดับ

$$G = -10.00 - 6.60 \log L_3$$

$$L_3 = L_T / PM$$

ซึ่งจะได้ค่าขนาดเกรนดังตารางที่ 4.1 โดยแสดงวิธีคำนวณในภาคผนวก 4.

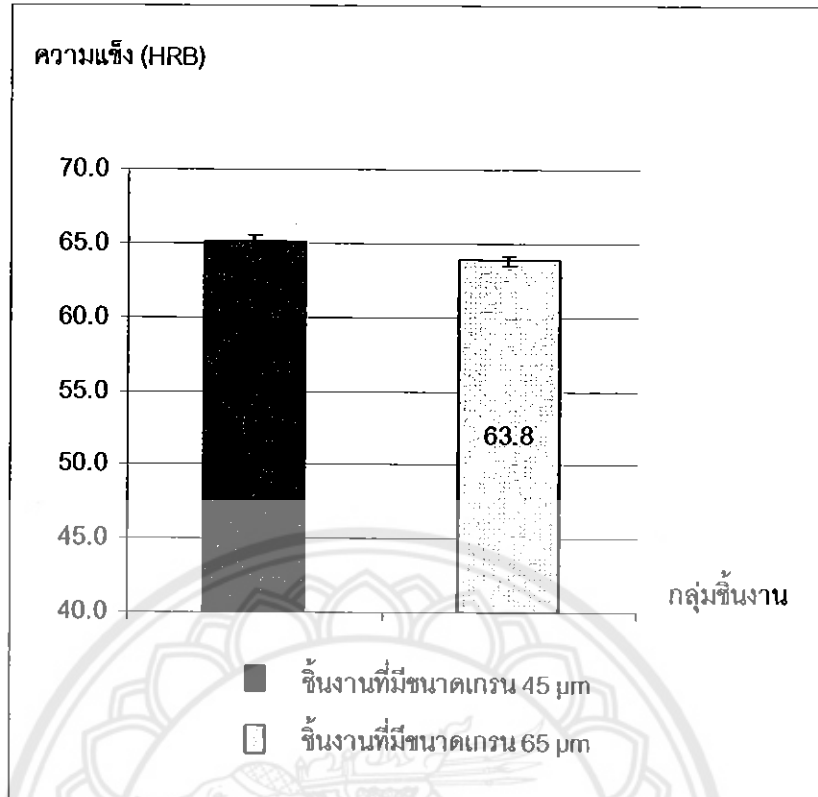
ตารางที่ 4.1 ตารางแสดงค่าขนาดของเกรนของชิ้นงานที่ผ่านการอบอ่อนที่ 700 องศาเซลเซียส เป็นเวลา 30 นาที และ 240 นาที

ช่วงเวลาในการอบ (นาที)	ASTM No.	Grain/mm. ²	Grain/mm. ³	Average grain Diameter (μm)
30	6	496	8842	45
240	5	248	3126	65

จากตารางที่ 4.1 ชิ้นงานที่ผ่านการอบอ่อนเป็นเวลา 30 นาทีจะมีขนาดเกรนเฉลี่ย 45 μm มีขนาดเล็กกว่าชิ้นงานที่ผ่านการอบอ่อนเป็นเวลา 240 นาที ซึ่งมีขนาดเกรนเฉลี่ย 65 μm จะเห็นว่า ขนาดเกรนชิ้นงานที่ผ่านการอบอ่อนเป็นเวลา 240 นาที เป็นไปตามทฤษฎีที่ว่าเมื่อใช้อุณหภูมิในการอบเท่ากันชิ้นงานที่ใช้เวลาการอบที่นานกว่าจะทำให้เกรนมีขนาดใหญ่กว่า [4]

4.2 ผลการทดสอบความแข็ง

ทำการทดสอบความแข็งของเหล็กคาร์บอนต่อเกรด AISI 1010 ที่มีขนาดเกรนเฉลี่ย 45 μm และ 65 μm ได้ผลการทดสอบดังตารางที่ 4.2 ชิ้นงานที่มีขนาดเกรนเฉลี่ย 45 μm มีค่าความแข็งเฉลี่ย 65.2 HRB ซึ่งมากกว่าชิ้นงานที่มีขนาดเกรนเฉลี่ย 65 μm ที่มีค่าความแข็งเฉลี่ยเท่ากับ 63.8 HRB สอดคล้องตามทฤษฎี นั่นคือ ชิ้นงานที่มีขนาดเกรนเล็กกว่าจะมีค่าความแข็งที่มากกว่าชิ้นงานที่มีขนาดเกรนใหญ่กว่า [3]



รูปที่ 4.2 แผนภูมิแสดงค่าความแข็งเฉลี่ยของชิ้นงานที่มีขนาดเกรนเฉลี่ย $45 \mu\text{m}$
และ ชิ้นงานที่มีขนาดเกรนเฉลี่ย $65 \mu\text{m}$

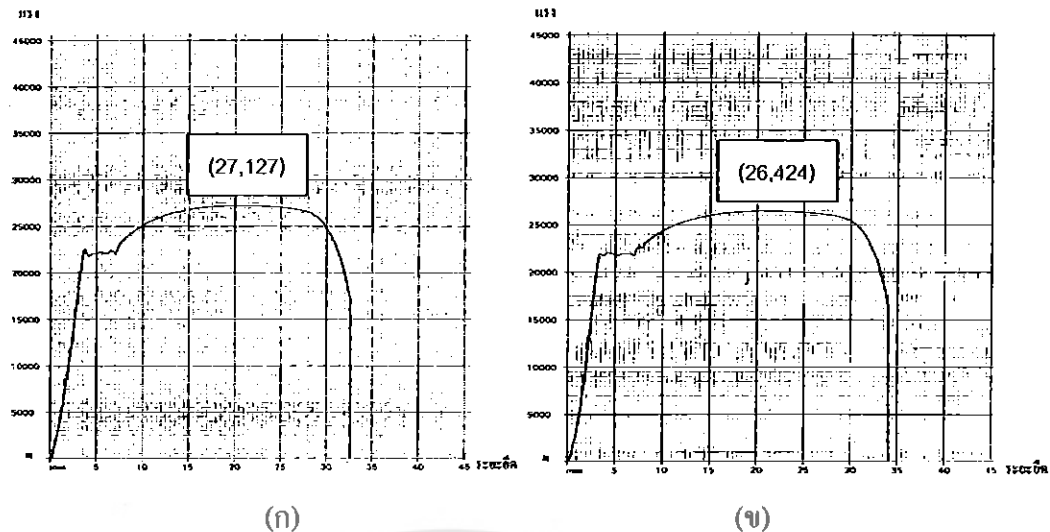
4.3 ผลการทดสอบแรงดึง

จากการทดสอบแรงดึงของเหล็กคาร์บอนตัวเกรด AISI 1010 ที่ผ่านกระบวนการการอบอ่อน ที่ อุณหภูมิ 700 องศาเซลเซียส ชิ้นงานทดสอบทั้งหมดจำนวน 10 ชิ้น แบ่งเป็น 2 กลุ่มตามขนาด เกรน ดังนี้

กลุ่มที่ 1 ชิ้นงานที่มีขนาดเกรนเฉลี่ย $45 \mu\text{m}$ จำนวน 5 ชิ้น

กลุ่มที่ 2 ชิ้นงานที่มีขนาดเกรนเฉลี่ย $65 \mu\text{m}$ จำนวน 5 ชิ้น

ตัวอย่างผลการทดสอบแรงดึงของชิ้นงานกลุ่มที่ 1 และกลุ่มที่ 2 แสดงดังรูปที่ 4.3 (ก) และ (ข)
ตามลำดับ ซึ่งจะได้ค่าแรงดึงสูงสุดและค่าระยะเบี่ยงของชิ้นงาน



รูปที่ 4.3 กราฟแสดงผลการทดสอบแรงดึงของชิ้นงานที่ผ่านการอบอ่อน

(ก) ชิ้นงานที่มีขนาดเกรนเฉลี่ย $45 \mu\text{m}$ และ

(ล) ชิ้นงานที่มีขนาดเกรนเฉลี่ย $65 \mu\text{m}$

จากราฟจะได้ค่าแรงดึงสูงสุด (Maximum tensile force) ของแต่ละก้อนแสดงดังตาราง ข.1 ในภาคผนวก ข. ชิ้นงานที่มีขนาดเกรนเฉลี่ย $45 \mu\text{m}$ มีค่าเฉลี่ยแรงดึงสูงสุดที่เท่านั้นได้เท่ากับ 27,127 นิวตัน และชิ้นงานที่มีขนาดเกรนเฉลี่ย $65 \mu\text{m}$ มีค่าเฉลี่ยแรงดึงสูงสุดที่เท่านั้นได้เท่ากับ 26,424 นิวตัน

และค่าเฉลี่ยระยะการยืดตัวของชิ้นงานทดสอบ แสดงดังตาราง ข.2 ในภาคผนวก ข. ชิ้นงานที่มีขนาดเกรนเฉลี่ย $45 \mu\text{m}$ มีค่าเฉลี่ยระยะการยืดตัวของชิ้นงานเท่ากับ 32.24 มิลลิเมตร และชิ้นงานที่มีขนาดเกรนเฉลี่ย $65 \mu\text{m}$ ที่มีค่าเฉลี่ยระยะการยืดตัวของชิ้นงานเท่ากับ 31.42 มิลลิเมตร

ค่าแรงดึงสูงสุดและระยะการยืดตัวของชิ้นงานทดสอบที่ได้จากราฟจะสามารถนำไปคำนวณหาค่าความต้านทานแรงดึง (Tensile strength), ค่าเบอร์เซ็นต์การยืดตัว (%Elongation) และค่าโมดูลัสของความยืดหยุ่น ได้ดังนี้

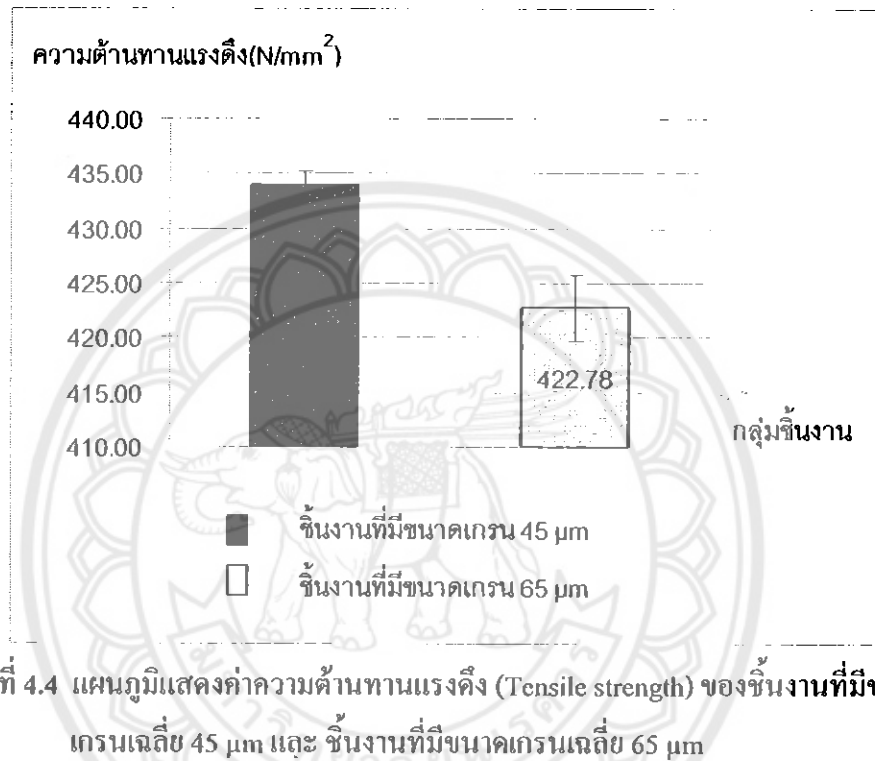
4.3.1 ความต้านทานแรงดึง (Tensile strength)

- ค่าความต้านทานแรงดึงหาได้จากการนำค่าความต้านทานแรงดึงสูงสุด มาคำนวณหาค่าความต้านทานแรงดึง ตามสมการที่ 2.8

$$\sigma = F / A$$

ได้ค่าความต้านทานแรงดึงแสดงคังรูปที่ 4.4 ซึ่งชิ้นงานที่มีขนาดเกรนเฉลี่ย $45 \mu\text{m}$ จะมีค่าความต้านทานแรงดึงเฉลี่ย 434.03 N/mm^2 มากกว่าชิ้นงานที่มีขนาดเกรนเฉลี่ย $65 \mu\text{m}$ ที่มีค่าความต้านทานแรงดึงเฉลี่ย 422.78 N/mm^2

แสดงให้เห็นว่าชิ้นงานที่มีขนาดเกรนเฉลี่ย $45 \mu\text{m}$ มีค่าความแข็งแรงมากกว่าชิ้นงานที่มีขนาดเกรนเฉลี่ย $65 \mu\text{m}$



รูปที่ 4.4 แผนภูมิแสดงค่าความต้านทานแรงดึง (Tensile strength) ของชิ้นงานที่มีขนาดเกรนเฉลี่ย $45 \mu\text{m}$ และ ชิ้นงานที่มีขนาดเกรนเฉลี่ย $65 \mu\text{m}$

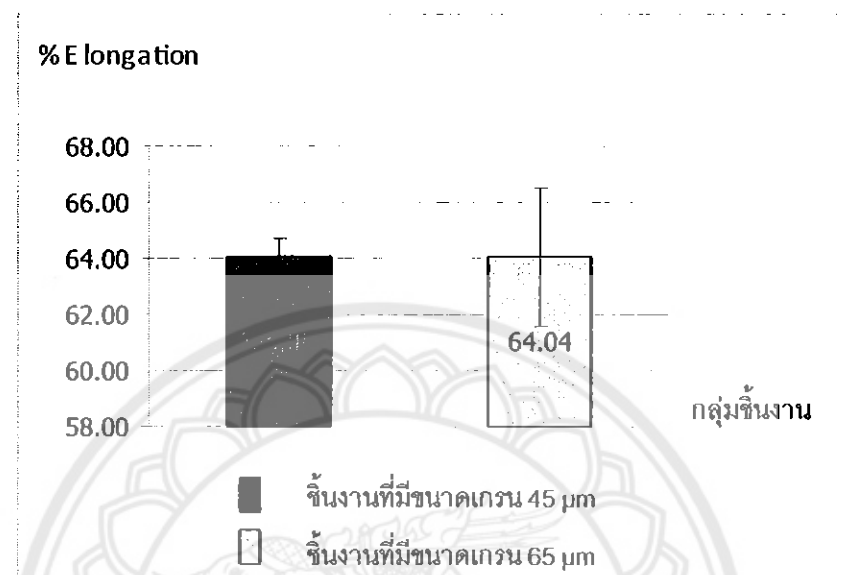
4.3.2 เปอร์เซ็นต์การยืดตัว (Percentage elongation: % El)

- เปอร์เซ็นต์การยืดตัว (Percentage elongation) ของวัสดุ สามารถคำนวณค่าได้จากสมการที่ 2.4

$$\%El = \frac{L_f - L_o}{L_o} \times 100\%$$

ค่าที่ได้จะแสดงคังรูปที่ 4.5 ชิ้นงานที่มีขนาดเกรนเฉลี่ย $45 \mu\text{m}$ จะมีค่าเปอร์เซ็นต์การยืดตัวเฉลี่ย 64.08 ซึ่งมากกว่าชิ้นงานที่มีขนาดเกรนเฉลี่ย $65 \mu\text{m}$ ที่มีค่าเปอร์เซ็นต์การยืดตัวเฉลี่ย 64.04 เล็กน้อยในทางปฏิบัติถือว่าเป็นค่าที่ใกล้เคียงกัน เปอร์เซ็นต์การยืดตัวจะเป็นตัวบ่งบอกความสามารถในการขึ้นรูปของมัน คือถ้าวัสดุมีความหนึบวาก (Percentage elongation) สูง ก็สามารถนำไปขึ้นรูปได้ง่าย [5]

จากค่าเบอร์เที่ยงต์การยืดตัวที่ได้ สรุปได้ว่าชิ้นงานทั้งสองช่วงเวลาทดสอบมีความเห็นiyที่ค แต่ชิ้นงานที่มีขนาดเกรนเคลือบ 45 μm มีค่าความเห็นiyที่ใกล้เคียงกับชิ้นงานที่มีขนาดเกรนเคลือบ 65 μm



รูปที่ 4.5 แผนภูมิแสดงการเปรียบเทียบเบอร์เที่ยงต์การยืดตัวของชิ้นงานที่มีขนาดเกรนเคลือบ 45 μm และชิ้นงานที่มีขนาดเกรนเคลือบ 65 μm

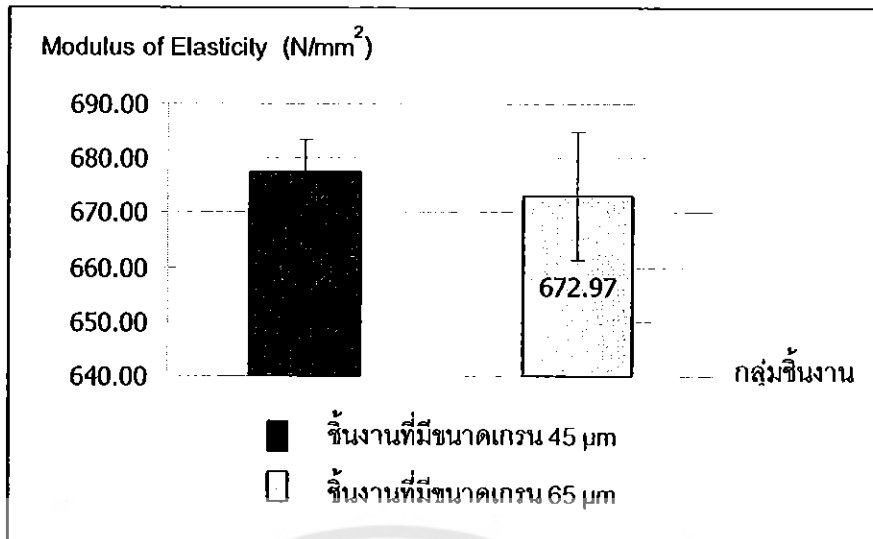
4.3.3 โมดูลัสของความยืดหยุ่น (E) หรือ โมดูลัสของยัง หรือ ความตึง (Stiffness)

- ค่า Modulus of elasticity สามารถคำนวณได้จากสมการที่ 2.6

$$E = \frac{\sigma}{e} = \frac{PL}{A\Delta L}$$

ค่าที่ได้แสดงดังรูปที่ 4.6 ชิ้นงานที่มีขนาดเกรนเคลือบ 45 μm จะมีค่าโมดูลัสของความยืดหยุ่นเคลือบ 677.33 N/mm^2 มากกว่าชิ้นงานที่มีขนาดเกรนเคลือบ 65 μm ที่มีค่าโมดูลัสของความยืดหยุ่นเคลือบ 672.97 N/mm^2

แสดงถึงความสามารถในการคงรูปของชิ้นงานที่มีขนาดเกรนเคลือบ 45 μm มีค่าความสามารถคงรูปใกล้เคียงกับชิ้นงานที่มีขนาดเกรนเคลือบ 65 μm



รูปที่ 4.6 แผนภูมิแสดงค่าโมดูลัสของความยืดหยุ่นของชิ้นงานที่มีขนาดเกรนเหลี่ยม 45 μm และชิ้นงานที่มีขนาดเกรนเหลี่ยม 65 μm

จากค่าแรงศักดิ์สูงสุดและค่าระหบยึดตัวของชิ้นงานทั้งสองกลุ่มซึ่งมีค่าแตกต่างกันในมากส่งผลให้ค่าเปอร์เซ็นต์การยึดตัวและค่าโมดูลัสของความยืดหยุ่นที่ได้จากการทดลองแตกต่างกันไม่นักนัก อาจเนื่องมาจากการเกรนที่ได้จากการทดลองทั้งสองกลุ่มทดสอบ มีค่าแตกต่างกันไม่นักพอดีที่จะทำให้ค่าเปอร์เซ็นต์การยึดตัวและค่าโมดูลัสของความยืดหยุ่นเกิดความแตกต่างกันอย่างชัดเจน อย่างไรก็ตามชิ้นงานที่มีขนาดเกรนเหลี่ยม 45 μm จะมีความแข็งแรงมากกว่าชิ้นงานที่มีขนาดเกรนเหลี่ยม 65 μm เล็กน้อย ซึ่งสามารถอธิบายตามทฤษฎีได้ว่าเกรนที่มีขนาดเล็กจะมีค่าความแข็งแรงมากกว่าเกรนที่มีขนาดใหญ่ เพราะขอบเกรน (Grain boundary) จะเป็นตัวขัดขวางการเคลื่อนตัวของคิสโลเคชัน ทำให้เกิดการหันกลับของคิสโลเคชันบนระนาบการเลื่อน (slip plan) ใกล้กับขอบเกรน (Grain boundary) ถ้าจะทำให้เกิดการเคลื่อนที่ต่อไปก็จะต้องใช้แรงมากขึ้น ถ้าโลหะมีขนาดของเกรนเล็ก นั่นคือมีขอบเกรน (Grain boundary) มาก ก็จะมีผลทำให้การเคลื่อนที่ของคิสโลเคชันยากขึ้น หรือต้องใช้ความคืนสูงขึ้นนั่นเอง ดังนั้น โลหะที่มีเกรนละเอียดก็จะมีความแข็งแรงสูงกว่าเกรนที่หายนกว่า [3]

4.4 ผลการตรวจลักษณะความเสียหายจากแรงดึง

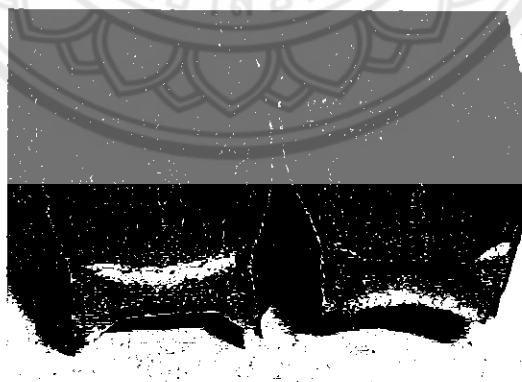
ผลการตรวจสอบเหล็ก AISI 1010 ที่ผ่านกระบวนการอบอ่อน ที่อุณหภูมิ 700 องศาเซลเซียส ชิ้นงานทั้งหมดจำนวน 2 ชิ้น คือ ชิ้นงานที่มีขนาดเกรนเฉลี่ย $45 \mu\text{m}$ และชิ้นงานที่มีขนาดเกรนเฉลี่ย $65 \mu\text{m}$

4.4.1 ตรวจสอบโครงสร้างหน้ากาก

เมื่อพิจารณาภาพถ่ายชิ้นงานหลังผ่านการทดสอบแรงดึงของชิ้นงานที่มีขนาดเกรนต่างกันทั้งสองชิ้น แสดงคั่งรูปที่ 4.7 โดยภาพ 4.7 (ก) เป็นภาพถ่ายชิ้นงานที่มีขนาดเกรนเฉลี่ย $45 \mu\text{m}$ และ 4.7 (ข) เป็นภาพถ่ายชิ้นงานที่มีขนาดเกรนเฉลี่ย $65 \mu\text{m}$ จากภาพการแตกหักเกิดบริเวณความยาวกำหนด (Gage length) พนว่าลักษณะการแตกหักที่เกิดขึ้นของชิ้นงานทดสอบทั้งสองกลุ่มนี้การแตกหักเป็นแบบถ้วยและกรวย (cup and cone) ซึ่งแสดงถึงพฤติกรรมการแตกหักแบบเหนียว (Ductile fracture)



(ก)



(ข)

รูปที่ 4.7 ภาพถ่ายชิ้นงานทดสอบหลังทดสอบแรงดึง

(ก) ชิ้นงานที่มีขนาดเกรนเฉลี่ย $45 \mu\text{m}$ และ

(ข) ชิ้นงานที่มีขนาดเกรนเฉลี่ย $65 \mu\text{m}$

4.4.2 ตรวจสอบด้วยกล้องจุลทรรศน์อิเล็กตรอนแบบส่องกราด (SEM)

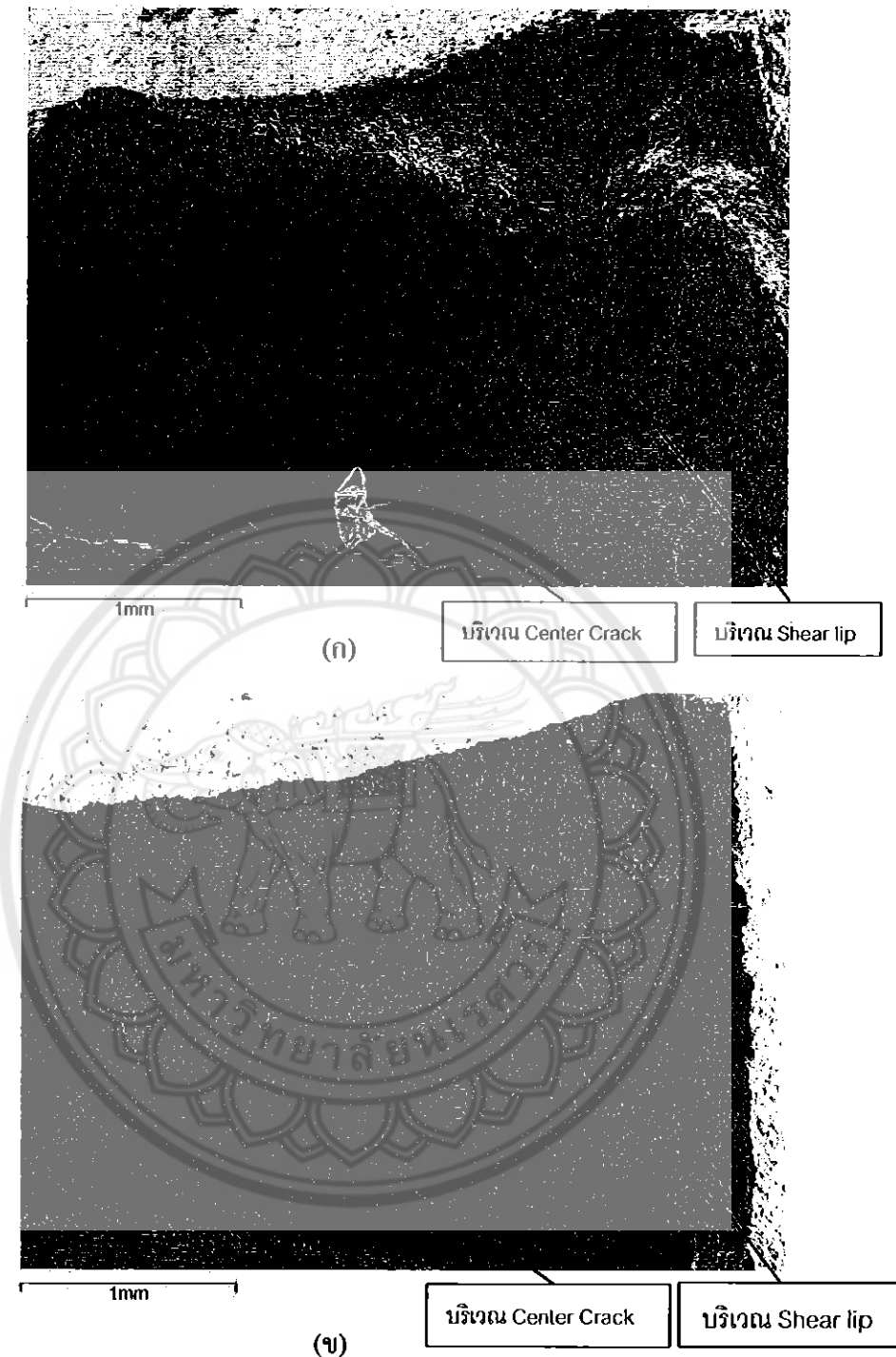
เมื่อพิจารณาจากภาพถ่ายจากกล้องจุลทรรศน์อิเล็กตรอนแบบส่องกราด จากรูปที่ 4.8 - 4.10 ซึ่งเป็นภาพถ่ายแสดงบริเวณโดยรวมของรอยขาด (Over all), บริเวณกลางรอยขาด (Center crack) และบริเวณขอบรอยขาด (Shear lip) ตามลำดับ

จากภาพที่ 4.8 (ก) และ (ข) เป็นภาพบริเวณโดยรวมของรอยขาด (Over all) ของชิ้นงานที่มีขนาดเกรนเฉลี่ย $45 \mu\text{m}$ และ $65 \mu\text{m}$

เมื่อพิจารณาที่ 4.9 (ก) และ (ข) ซึ่งเป็นรูปถ่ายแสดงลักษณะความเสียหายที่เกิดจากแรงดึงบริเวณกลางรอยขาด (Center crack) พบว่าชิ้นงานที่มีขนาดเกรนเฉลี่ย $45 \mu\text{m}$ ส่วนใหญ่จะมีลักษณะในโครงสร้างลักษณะบิดเบี้ยวคละกัน และชิ้นงานที่มีขนาดเกรนเฉลี่ย $65 \mu\text{m}$ ลักษณะในโครงสร้างค่อนข้างเรียบง่ายเป็นลักษณะกลมๆ เรียกว่า อิคริแอคชัน เชป ทำการเปรียบเทียบภาพทั้งสองพบว่า ขอบในโครงสร้างของชิ้นงานที่มีขนาดเกรนเฉลี่ย $45 \mu\text{m}$ จะมีการขีดตัวมากกว่าชิ้นงานที่มีขนาดเกรนเฉลี่ย $65 \mu\text{m}$ แสดงให้เห็นว่ามีลักษณะของการเกิดการเปลี่ยนรูปอย่างถาวร (Plastic deformation) ที่ดีกว่า

จากทฤษฎี ชิ้นงานที่พบในโครงสร้างที่มีลักษณะแบบหลุมคลุมในผิวรอยแตกหักเป็นชิ้นงานที่ผ่านการรับแรงดึงที่กระทำตั้งจากกับชิ้นงาน [6] ทำให้คาดได้ว่าชิ้นงานที่มีขนาดเกรนเฉลี่ย $65 \mu\text{m}$ มีการรับแรงในทิศทางที่ตั้งฉากกับชิ้นงาน และชิ้นงานที่มีขนาดเกรนเฉลี่ย $45 \mu\text{m}$ จะมีทิศทางการรับแรงที่ไม่ตั้งฉากกับชิ้นงาน

เมื่อพิจารณาที่ 4.10 (ก) และ (ข) ซึ่งเป็นรูปถ่ายแสดงลักษณะความเสียหายที่เกิดจากแรงดึงบริเวณขอบรอยขาด (Shear lip) ทำการเปรียบเทียบภาพทั้งสองพบว่า ชิ้นงานที่มีขนาดเกรนเฉลี่ย $45 \mu\text{m}$ และ $65 \mu\text{m}$ มีลักษณะในโครงสร้างบิดเบี้ยวคละกันไปเหลี่ยม化 กัน เป็นผลมาจากการลักษณะแรงของรอยแตกจากบริเวณกลางรอยขาด (Center crack) ขยายตัวจนถึงบริเวณขอบรอยขาด (Shear lip) จนเกิดการฟอร์มตัวของระนาบแรงเฉือน (Shear plane) ซึ่งมีระนาบทามุนกับทิศทางของแรงที่มีกระทำประมาณ 45 องศา โดยประมาณ รอยแตกนี้เชื่อมต่อกันทำให้ชิ้นงานเกิดการแตกหักในที่สุด และแสดงให้เห็นว่าบริเวณนี้มีการขีดตัวของชิ้นงานสูง เป็นไปตามทฤษฎีการแตกหักแบบหนีบ [6]

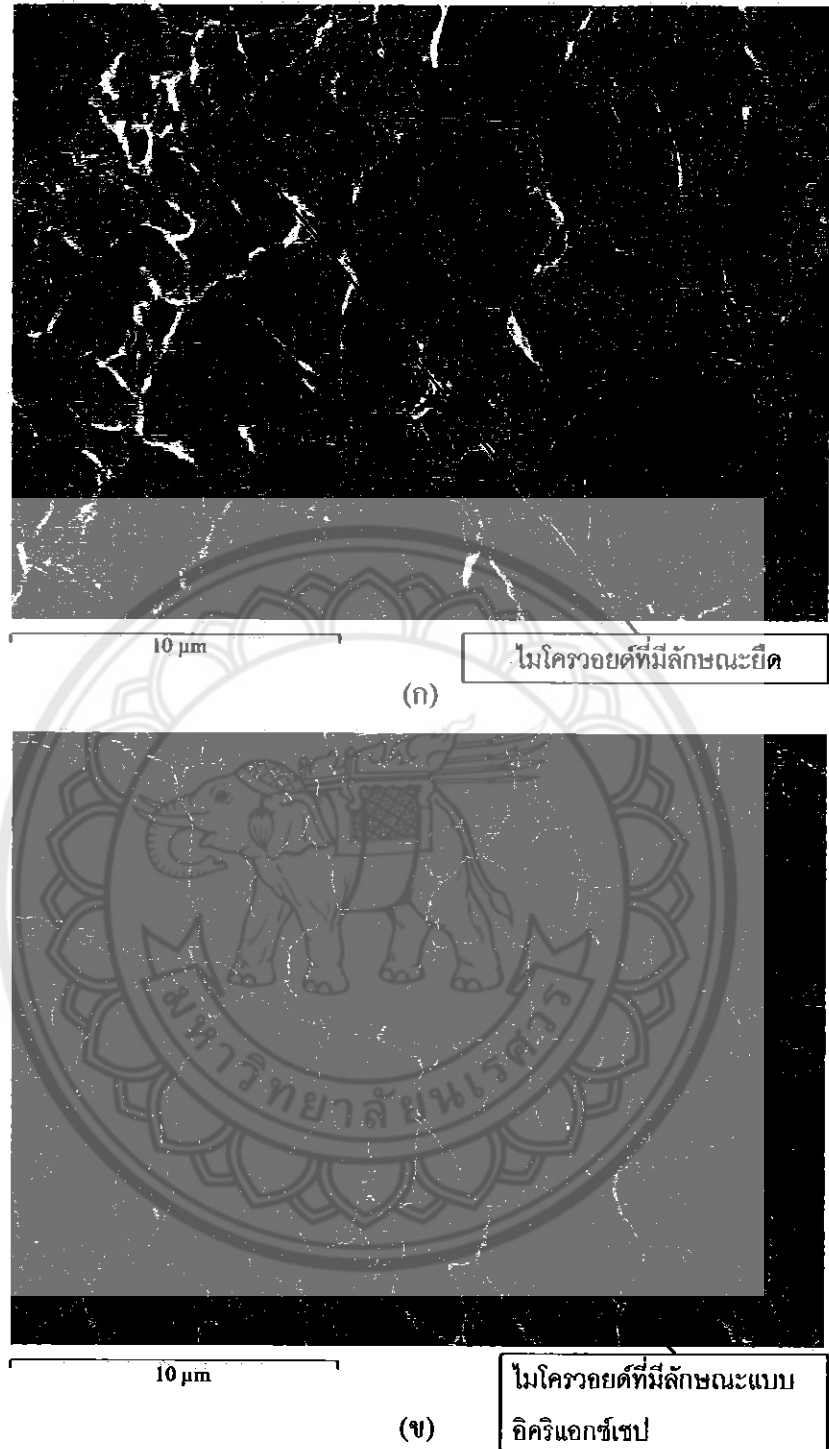


รูปที่ 4.8 ก้าวถ่ายพื้นผิวการแตกหักบริเวณโดยรวมของรอบขาด (Over all)

ที่กำลังขยาย 100 เท่า จากกล้องจุลทรรศน์อิเล็กตรอนแบบส่องกราด

(ก) ชิ้นงานที่มีขนาดเกรนเฉลี่ย $45 \mu\text{m}$ และ

(ข) ชิ้นงานที่มีขนาดเกรนเฉลี่ย $65 \mu\text{m}$

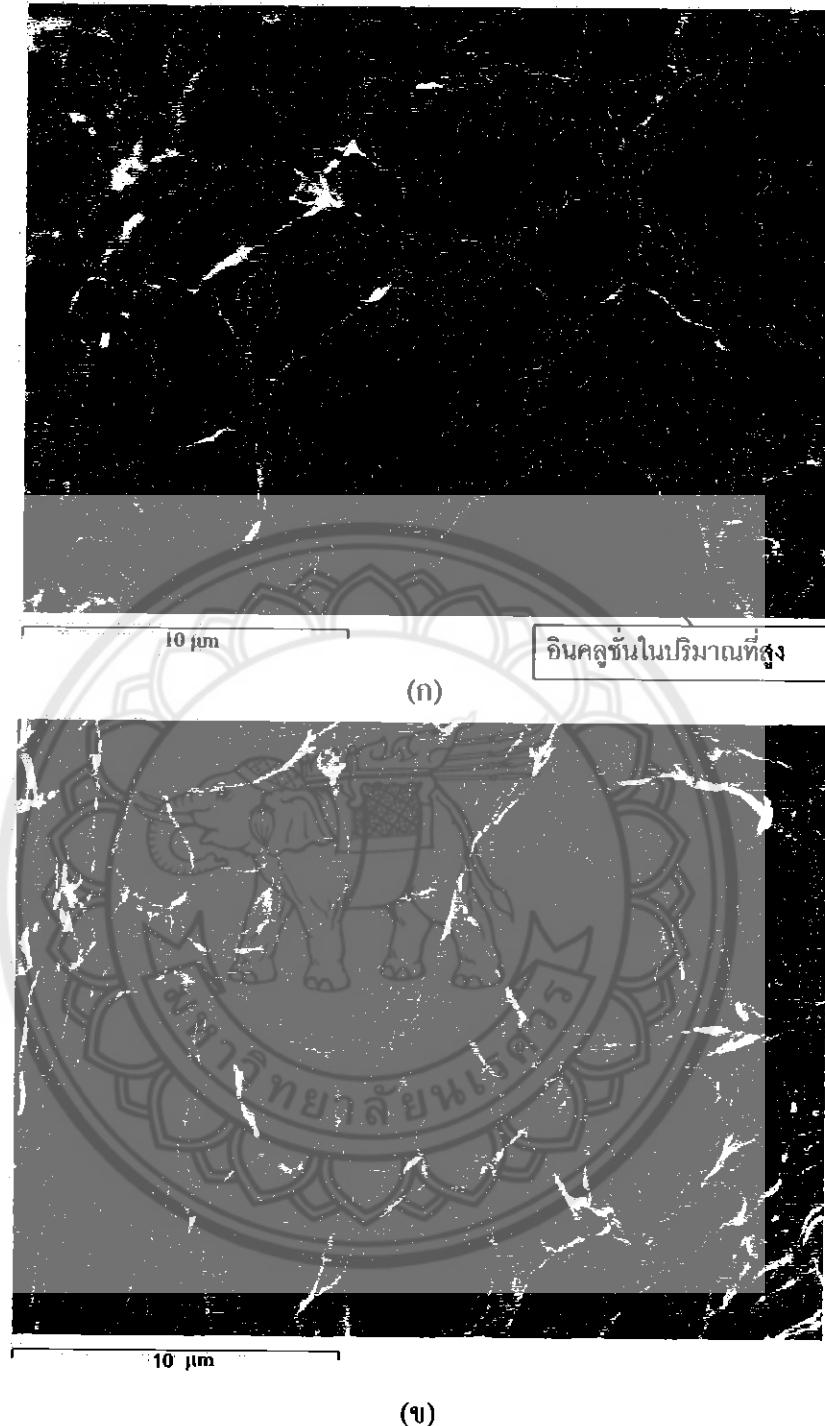


រูបទี่ 4.9 រាបតាមឱ្យដឹងពីវារោងរាល់ការបែកហកបិវេជ្ជកាច (Center crack)

ទាំងមួយ 5000 ពេល ការកែតុកឈើនៃឯកទូទៅនៅក្នុងការបែកហកបិវេជ្ជកាច

(ក) ឱ្យការបែកហកបិវេជ្ជកាចមិនមែនស្ថាប់ 45 μm នៃ

(ខ) ឱ្យការបែកហកបិវេជ្ជកាចមិនមែនស្ថាប់ 65 μm



รูปที่ 4.10 ภาพถ่ายพื้นผิวการแตกหักบริเวณขอบรอยขาด (Shear lip)

ที่กำลังขยาย 5000 เท่า จากกล้องจุลทรรศน์อิเล็กตรอนแบบส่องกราด
 (ก) ชิ้นงานที่มีขนาดเกรนเฉลี่ย $45 \mu\text{m}$ และ
 (ข) ชิ้นงานที่มีขนาดเกรนเฉลี่ย $65 \mu\text{m}$

บทที่ 5

สรุปผลโครงงาน

จากการศึกษาเรื่อง ผลของขนาดเกรนของเหล็ก AISI 1010 ที่มีต่ออัตราความเสียหายจากแรงดึง ทำให้สรุปผลการศึกษาได้ดังนี้

เมื่อนำชิ้นงานเหล็กกล้าเกรด AISI 1010 ไปอบอ่อนแบบไม่สมบูรณ์ที่อุณหภูมิ 700 องศาเซลเซียส เป็นเวลา 30 นาที และ 240 นาที เพื่อสร้างชิ้นงานที่มีขนาดเกรนที่ต่างกัน จากการตรวจสอบคุณภาพลักษณะและคงให้เห็นว่าชิ้นงานที่อบอ่อนเป็นเวลา 30 นาที ได้ขนาดเกรนเฉลี่ย $45 \mu\text{m}$ และชิ้นงานที่อบอ่อนเป็นเวลา 240 นาที ได้ขนาดเกรนเฉลี่ย $65 \mu\text{m}$

เมื่อนำชิ้นงานไปทดสอบความแข็งและแรงดึง จะได้ผลการทดสอบสรุปได้ดังตารางที่ 5.1 ซึ่งจะเห็นได้ว่าผลการทดสอบของชิ้นงานที่มีขนาดเกรนเฉลี่ย $45 \mu\text{m}$ และ $65 \mu\text{m}$ มีค่าใกล้เคียงกัน ทั้งนี้อาจเป็นเพราะขนาดเกรนที่ได้ขึ้น มีความแตกต่างกันไม่มากพอด้วย

ตารางที่ 5.1 แสดงการเปรียบเทียบผลการทดสอบความแข็งและผลการทดสอบแรงดึง

การทดสอบ	ค่าเฉลี่ยที่ได้จากการทดสอบ	
	ขนาดเกรนเฉลี่ย $45 \mu\text{m}$	ขนาดเกรนเฉลี่ย $65 \mu\text{m}$
ความแข็ง (HRB)	65.2	63.8
ความต้านทานแรงดึง (N/mm^2)	434.03	422.78
เบอร์เช่นต์การยืดตัว	64.08	64.04
โมดูลัสของความยืดหยุ่น	677.33	672.97

สำหรับการตรวจสอบลักษณะความเสียหายจากแรงดึงคัวยกส่องจุลทรรศน์อิเล็กตรอนแบบส่องกราด จะได้ผลการทดลองสรุปได้ดังตารางที่ 5.2 จะเห็นได้ว่าบริเวณกลางรอยขีดชิ้นงานที่มีขนาดเกรนเฉลี่ย $45 \mu\text{m}$ ขอบของไมโครvoid (Microvoid) จะมีการยึดตัว จากทฤษฎีทำให้คาดได้ว่าแรงที่มากระทำบริเวณในไมโครvoid เป็นแรงดึงที่กระทำในพิษทางที่ไม่ตั้งฉากกับชิ้นงาน ส่วนชิ้นงานที่มีขนาดเกรนเฉลี่ย $65 \mu\text{m}$ ซึ่งมีลักษณะในไมโครvoid เป็นหลุมกลมๆ หรือ อิคริแทกช์ เช่นแรงที่มากระทำนั้นเป็นแรงดึงที่กระทำในพิษทางตั้งฉากกับชิ้นงาน และบริเวณขอบรอยขีดชิ้นงานที่มีขนาดเกรนเฉลี่ย $45 \mu\text{m}$ และ $65 \mu\text{m}$ ขอบในไมโครvoid จะมีการยึดตัวมาก เช่นเดียวกัน

ตารางที่ 5.2 แสดงการเปรียบเทียบลักษณะความเสียหายจากแรงดึงของชิ้นงานที่มีขนาดเกรนเฉลี่ย $45 \mu\text{m}$ และ ชิ้นงานที่มีขนาดเกรนเฉลี่ย $65 \mu\text{m}$

ขนาดเกรน เฉลี่ย (μm)	ลักษณะความเสียหาย	
	บริเวณกลางรอยขีด (Center crack)	บริเวณขอบรอยขีด (Shear lip)
45	ขอบในไมโครvoid มีการยึดตัว	ขอบในไมโครvoid มีการยึดตัวมาก
65	ไม่ในไมโครvoid ส่วนใหญ่จะเป็นลักษณะกลมๆ	ขอบไม่ในไมโครvoid มีการยึดตัวมาก

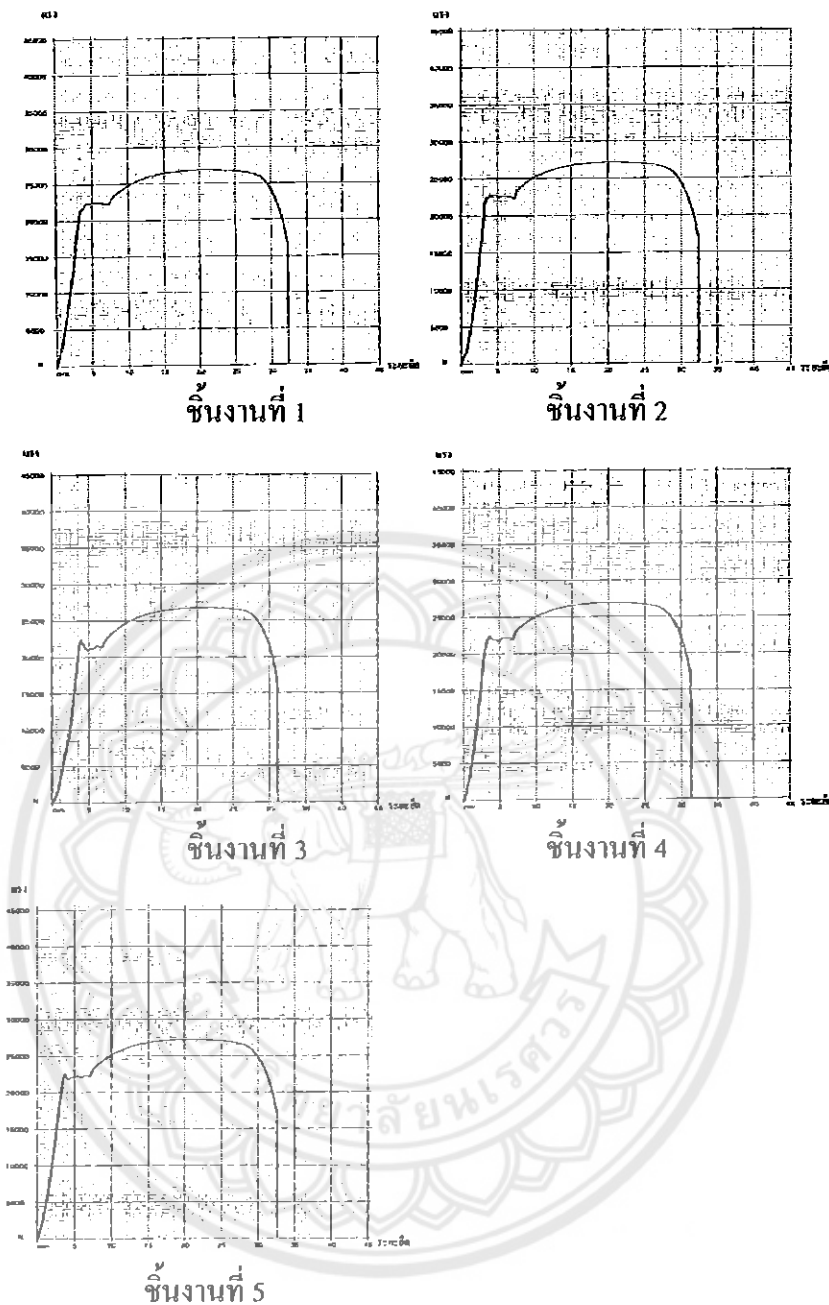
ปัญหาและแนวทางแก้ไข

เนื่องจากข้อมูลที่ได้จากการทดลองข้างไม่ชัดเจน เช่น ผลการทดสอบแรงดึงซึ่งเป็นปัญหาที่เนื่องมาจากความสามารถของเครื่องมือทดสอบ จึงไม่สามารถนำผลการทดลองที่ได้ไปเปรียบเทียบกับงานวิจัยที่เกี่ยวข้อง ได้แก่ N.Tsuchida², 2007. Effect of ferrite grain size on tensile deformation behavior of a ferrite-cementite low carbon steel. [8] และ Zhongyun Fan, 1994. The grain size dependence of ductile fracture toughness of Polycrystalline metals and alloys. [9] ได้ หากมีการศึกษาเพิ่มเติมในส่วนนี้อาจทำให้สรุปผลการทดลองได้อย่างชัดเจนยิ่งขึ้น

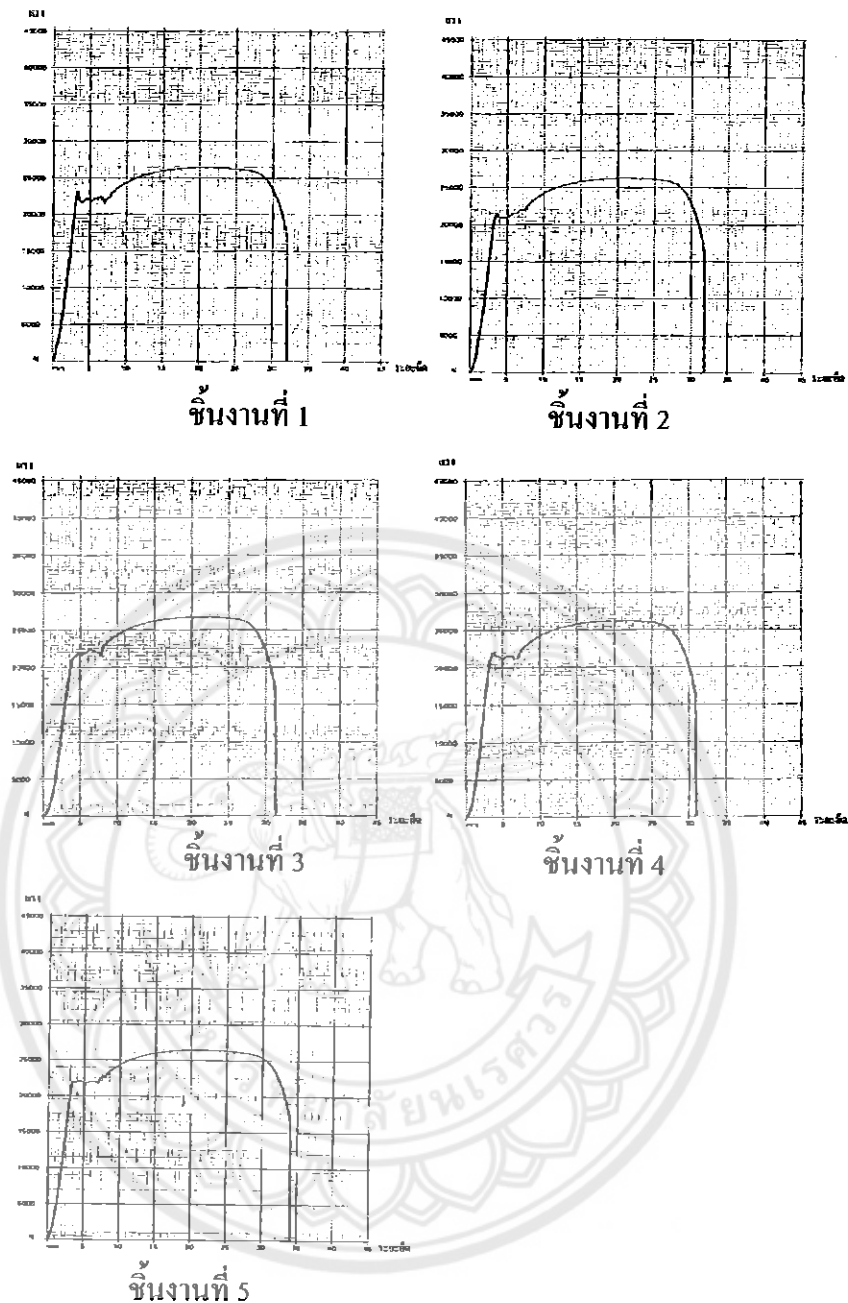
เอกสารอ้างอิง

- [1] มนัส สธร Jinca. วิศวกรรมการอบชุบเหล็ก, วิศวกรรมสถานแห่งประเทศไทย กรุงเทพ, 2533
- [2] Effect of cold working on tensile strength, hardness, ductility and grain size.
สืบค้นเมื่อ 15 สิงหาคม 2551, จาก <http://images.google.co.th/imgres?imgurl=http://info.lu.farmingdale.edu/depts/met/mct205/coldwork.jpg>
- [3] เอกสารประกอบการเรียนการสอนวิชา Physical Metallurgy I, "The grain size", ภาควิชา
วิศวกรรมโลหการ, คณะวิศวกรรมศาสตร์, จุฬาลงกรณ์มหาวิทยาลัย
- [4] เอกสารประกอบการเรียนวิชา PRE 257 Metallurgy Laboratory II ปีการศึกษา 1/2546,
" การทดสอบที่ 6 Grain Size Affect ", ภาควิชาวิศวกรรมอุตสาหการ, มหาวิทยาลัย
เทคโนโลยีพระจอมเกล้าธนบุรี.
- [5] การทดสอบแรงดึง. สืบค้นเมื่อ 15 สิงหาคม 2551, จาก http://www.elecnet.chandra.ac.th/learn/courses/5513101/chapter_6/tension_test.doc
- [6] การศึกษาพื้นผิวการแตกหัก. สืบค้นเมื่อ 15 สิงหาคม 2551, จาก http://www.sut.ac.th/engineering/metal/pdf/MechmetLab/Th/08_Fractography_th.pdf
- [7] ชาลิต เชียงกูล . (พิมพ์ครั้งที่ 5). (2547). โลหะวิทยา. กรุงเทพ : สมาคมส่งเสริมเทคโนโลยี
(ไทย-ญี่ปุ่น)
- [8] N.Tsuchida^a ,.2007. Effect of ferrite grain size on tensile deformation behavior of a
ferrite-cementite low carbon steel.Thesis,Ms.E., School of engineer, University of
Hyogo,2167 Shosha. Retrieved November 9, 2007. Material Science and Engineering
A 488(2008)446-452, www.elsevier.com/locate/msea .
- [9] Zhongyun Fan.1994.The grain size dependence of ductile fracture toughness of
Polycrystalline metals and alloys.Thesis, Ms.E., University of Surrey, Guildford.
Retrieved September 15, 2009. Material Science and Engineering ,
A 191(1995)73-83, www.elsevier.com/locate/msea .
- [10] ประกอบ บุญยงค์. (2524), โลหะวิทยา1. พิมพ์ครั้งที่ 2, กรุงเทพมหานคร : สำนักพิมพ์
ประกอบเมือง





รูปที่ ก.1 ภาพกราฟที่ได้จากการทดสอบแรงดึงของชิ้นงานที่มีขนาดเกรนเฉลี่ย $45 \mu\text{m}$



รูปที่ ก.2 ภาพกราฟที่ได้จากการทดสอบแรงดึงของชิ้นงานที่มีขนาดเกรนเฉลี่ย $65 \mu\text{m}$

ตารางที่ ก.1 แสดงค่าแรงดึงสูงสุดของชิ้นงานที่มีขนาดเกรนเฉลี่ย $45 \mu\text{m}$ และ ชิ้นงานที่มีขนาดเกรนเฉลี่ย $65 \mu\text{m}$

ขนาดเกรน เฉลี่ย (μm)	ค่าแรงดึงสูงสุดของแต่ละชิ้นงาน (N)					เฉลี่ย	SD
	1	2	3	4	5		
45	27225	27103	27051	27195	27061	27127	78.96
65	26470	26433	26268	26711	26238	26424	189.41

ตารางที่ ก.2 แสดงค่าระยะการยืดของชิ้นงานที่มีขนาดเกรนเฉลี่ย $45 \mu\text{m}$ และ ชิ้นงานที่มีขนาดเกรนเฉลี่ย $65 \mu\text{m}$

ขนาดเกรน เฉลี่ย (μm)	ระยะการยืดของชิ้นงาน (mm.)					เฉลี่ย	SD
	1	2	3	4	5		
45	32.42	32.23	31.99	31.55	32.02	32.23	0.33
65	34.04	30.89	32.05	31.81	31.30	30.89	1.22

ตารางที่ ก.3 ตารางแสดงค่าความต้านทานแรงดึง (Tensile strength) ของชิ้นงานที่มีขนาดเกรนเฉลี่ย $45 \mu\text{m}$ และ ชิ้นงานที่มีขนาดเกรนเฉลี่ย $65 \mu\text{m}$

ขนาดเกรน เฉลี่ย (μm)	ค่าความต้านทานแรงดึงแต่ละชิ้นงาน (N/mm^2)					เฉลี่ย	SD
	1	2	3	4	5		
45	435.60	433.65	432.82	435.12	432.97	434.03	1.26
65	423.52	422.93	420.29	427.38	419.81	422.78	3.03

ตารางที่ ก.4 ตารางแสดงการเปรียบเทียบเปลอร์เซ็นต์การยืด (Percentage elongation) ของชิ้นงานที่มีขนาดเกรนเฉลี่ย $45 \mu\text{m}$ และ ชิ้นงานที่มีขนาดเกรนเฉลี่ย $65 \mu\text{m}$

ขนาดเกรนเฉลี่ย (μm)	%Elongation					เฉลี่ย	SD
	1	2	3	4	5		
45	64.84	63.98	63.10	64.04	64.46	64.08	0.65
65	68.08	64.10	63.62	62.60	61.78	64.04	2.43

ตารางที่ ก.5 ตารางแสดงค่าโน้มถ่วงของความยึดหยุ่นของชิ้นงานที่มีขนาดเกรนเฉลี่ย $45 \mu\text{m}$ และ ชิ้นงานที่มีขนาดเกรนเฉลี่ย $65 \mu\text{m}$

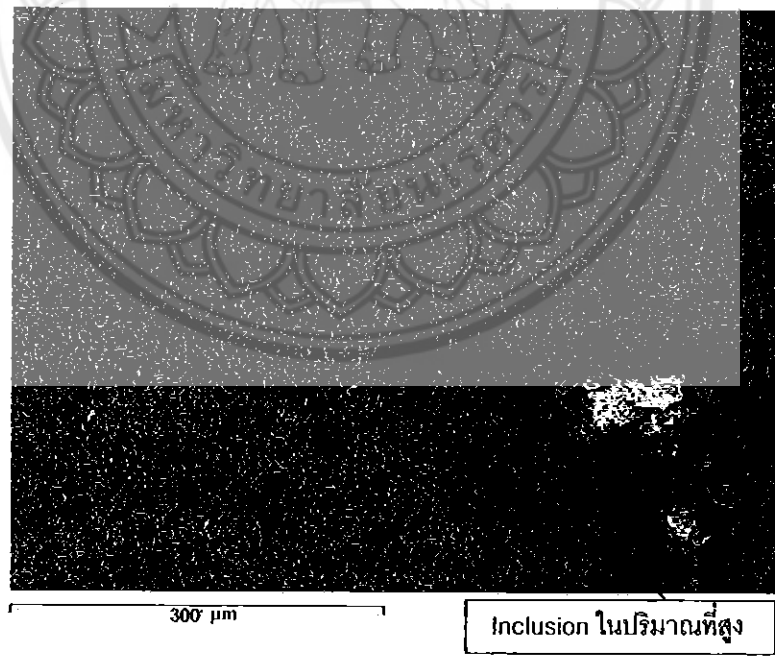
ขนาดเกรน เฉลี่ย (μm)	ค่าโน้มถ่วงของความยึดหยุ่น (N/mm^2)					เฉลี่ย	SD
	1	2	3	4	5		
45	671.81	677.79	685.92	679.45	671.70	677.33	5.93
65	682.22	659.79	660.62	682.71	679.52	672.97	11.72







รูปที่ ข.1 แสดงพื้นที่ผิวการแตกหักบริเวณกลางรอยขาด (Center crack) ที่กำลังขยาย 200 เท่า จากกล้องจุลทรรศน์อิเล็กตรอนแบบส่อง/grab ของชิ้นงานที่มีขนาดเกรนเฉลี่ย 45 μm



รูปที่ ข.2 แสดงพื้นที่ผิวการแตกหักบริเวณกลางรอยขาด (Center crack) ที่กำลังขยาย 200 เท่า จากกล้องจุลทรรศน์อิเล็กตรอนแบบส่อง/grab ของชิ้นงานที่มีขนาดเกรนเฉลี่ย 65 μm



ตารางที่ ก.1 ตารางแสดงค่าความแข็งของชิ้นงานที่มีขนาดเกรนเฉลี่ย $45 \mu\text{m}$ และ
ชิ้นงานที่มีขนาดเกรนเฉลี่ย $65 \mu\text{m}$

ขนาดเกรน เฉลี่ย (μm)	ค่าความแข็งในแต่ละจุด (HRB)			เฉลี่ย	SD
	1	2	3		
45	65	65	65.5	65.2	0.28
65	64	63.5	64	63.8	0.28





การหาขนาดเกรนโดยวิธี Mean Linear Intercept

การหาขนาดของเกรนสามารถคำนวณได้จากวิธี Mean Linear Intercept จากสมการ

$$G = -10.00 - 6.60 \log L_3 \quad (2.2)$$

$$L_3 = L_T / PM \quad (2.3)$$

เมื่อ L_T คือ ขนาดของเส้นรอบวงที่นำมาหาจุดตัดของเกรน

P คือ จำนวนจุดตัด

M คือ กำลังขยายของภาพ

L_3 คือ ค่าความยาวเฉลี่ยของจุดตัด

G คือ หมายเลขขนาดของเกรน (ASTM No.)

- ที่ช่วงเวลาในการอบอ่อน 30 นาที

เส้นผ่านศูนย์กลางของวงกลม(D) = 7.5 เซนติเมตร

จำนวนจุดตัด (P) = 14 จุด

กำลังขยายของภาพ (M) = 500 เท่า

$$\begin{aligned} L_3 &= (\pi D) / PM \\ &= \pi 7.5 / (14 * 500) \\ &= 0.0034 \end{aligned}$$

$$\begin{aligned} G &= -10.00 - 6.60 \log L_3 \\ &= -10.00 - [6.60 \log (0.0034)] \\ &= 6.32 \end{aligned}$$

ดังนั้นจะได้ ASTM No. = 6

- ที่ช่วงเวลาในการอบอ่อน 240 นาที

เดือนผ่านศูนย์กลางของวงกลม (D) = 7.5 เซนติเมตร

จำนวนจุดตัด (P) = 10 จุด

กำลังขยายของภาพ (M) = 500 เท่า

$$\begin{aligned} L_3 &= (\pi D) / PM \\ &= \pi 7.5 / (10 \times 500) \\ &= 0.0047 \end{aligned}$$

$$\begin{aligned} G &= -10.00 - 6.60 \log L_3 \\ &= -10.00 - [6.60 \log (0.0047)] \\ &= 5.37 \end{aligned}$$

ดังนี้จะได้ ASTM No. = 5

